

Original Article



Comparison of Remote Sensing Methods for Estimating Actual Daily Evapotranspiration Using Landsat 8 Multispectral Images

Faezeh sadat Hashemi^{1*}, Mohammad Javad Valadan Zoj², Fahimeh Yousefi³

Affiliation

1. MSc student of Remote sensing, Department of photogrammetry and remote sensing, College of geodesy and geomatics, K.N.Toosi University, Tehran, Iran
2. Professor in Department of photogrammetry and remote sensing, College of geodesy and geomatics, K.N.Toosi University, Tehran, Iran
3. Ph.D. student of photogrammetry Department of photogrammetry and remote sensing, College of geodesy and geomatics, K.N.Toosi University, Tehran, Iran

ABSTRACT

Background and Purpose: Agriculture serves as the cornerstone of the global economy, providing the main source of food and raw materials for various industries. However, the rising demand for food as a consequence of population growth represents a considerable threat to food security, particularly in light of the limited access to freshwater resources. It is noteworthy that agriculture alone consumes about 70% of the world's freshwater resources, thereby emphasizing the critical need to manage and enhance irrigation efficiency to ensure sustainable food production. Therefore, the management and enhancement of irrigation efficiency are essential. At the core of determining irrigation water requirements lies the concept of actual crop evapotranspiration (ET_a), which represents the combined water loss from soil evaporation and plant transpiration. Accurate estimation of ET_a is crucial in optimizing irrigation methods, maximizing crop yield, and minimizing water consumption. Various models and tools have been developed to estimate ET_a, aiming to provide more user-friendly and efficient methods for farmers and researchers. Given the extensive application of ET estimation models, there is a clear need to focus on the development of accurate and efficient methods for determining this parameter. Thus, this study aims to compare user-friendly ET_a estimation methods, including the EEFLUX system, the METRICTOOL tool, and the automatic hot and cold pixel selection method of the SEBAL and METRIC models.

Materials and Methods: The Earth Engine Evapotranspiration Flux (EEFLUX) is a version of the METRIC model that operates on the Google Earth Engine platform. METRICTOOL is a new tool in ArcGIS based on the METRIC model, offering enhanced pre-processing capabilities and automatic data identification. This tool reduces computation time by 50% and provides a user-friendly alternative to other existing METRIC model implementation platforms. The automatic hot and cold pixel selection method involves creating a binary map of eligible pixels using a rule-based classifier and a comprehensive search algorithm to identify hot and cold pixels based on defined criteria. To estimate ET using these methods, six Landsat 8 satellite images were utilized during the winter wheat crop planting period at Tehran University farms in Mohammadshahr Karaj. The evaluation of these methods was conducted using alfalfa reference evapotranspiration (ET_r) calculated with the FAO-Penman-Monteith method as reference data.

Results and Discussion: The Root Mean Square Error (RMSE) values for the EEFLUX system, METRICTOOL, SEBAL, and automatic METRIC tools were determined as 2.45, 0.33, 0.39, and 2.76, respectively. Despite numerical differences, the evaporation and transpiration product of the EEFLUX system showed significant correlations with other methods. For instance, the R² between ET_a estimates from the EEFLUX system and the METRICTOOL tool was found to be 0.91. Although the data from the EEFLUX system may not be precise enough for local studies due to the use of CFSV2 global meteorological data in Iran, they yield acceptable results in large or global-scale studies. The METRICTOOL tool and automatic METRIC model exhibited the highest correlation (R²=0.99) and numerical agreement with each other, with RMSE values of 0.33 and 0.39, respectively, indicating higher accuracy compared to the automatic SEBAL model.

Conclusion: The results of the numerical analysis indicate that the automatic hot and cold pixel selection approach can achieve similar accuracy to that of the METRICTOOL tool. This automated approach enhances the efficiency of the model in terms of time and effectiveness, reducing the potential for human error in estimating evapotranspiration for new or inexperienced users, and making these models accessible to the public. Furthermore, EEFLUX data can be utilised for the implementation of management measures in large-scale studies.

Keywords: Food security, Evapotranspiration, SEBAL, METRIC, EEFLUX

Citation: Hashemi, F., Valadan Zoj., M.J., Yousefi, F., Comparison of Remote Sensing Methods for Estimating Actual Daily Evapotranspiration Using Landsat 8 Multispectral Images, *Iran J Remote Sens GIS*. 16(2):19-42.

* Corresponding Author: f.hashemi@email.kntu.ac.ir
DOI: <https://doi.org/10.48308/gisj.2024>

Received: 2022.08.14
Accepted: 2022.09.28



Copyright: © 2024 by the authors. Submitted for possible open access publication under the terms and conditions of the Creative Commons Attribution (CC BY) license <https://creativecommons.org/licenses/by/4.0/>.

مقایسه روش‌های سنجش از دور برآورد تبخیر و تعرق واقعی روزانه با استفاده از تصاویر چندطیفی لندست ۸

فائزه سادات هاشمی^۱، محمدجواد ولدان زوج^۲، فهمیه یوسفی^۳

چکیده

سابقه و هدف: کشاورزی سنگ بنای اقتصاد جهانی است و به مثابه منبع اصلی غذا و مواد خام برای صنایع مختلف عمل می‌کند. با این حال، تقاضای فرازینده غذا به دلیل رشد جمعیت، تهدید قابل توجهی بر امنیت غذایی است، بهویژه زمانی که دسترسی محدود به منابع آب شیرین را در نظر بگیریم. شایان ذکر است که کشاورزی بهنهایی حدود ۷۰ درصد از منابع آب شیرین جهان را مصرف می‌کند، که بر نیاز حیاتی برای مدیریت و افزایش بهرهوری آبیاری برای تضمین تولید پایدار مواد غذایی تأکید دارد. در نتیجه مدیریت و افزایش بازده آبیاری امری ضروری است. در قلب تعبیین نیاز آب آبیاری، مفهوم تبخیر و تعرق واقعی محصول ET_a (نهمه) است، که نشان‌دهنده اختلاف آب، ترکیبی از تبخیر خاک و تعرق گیاه است. برآورد دقیق ET_a در بهینه‌سازی روش‌های آبیاری، به حداقل رساندن عملکرد محصول و به حداقل رساندن مصرف آب بسیار مهم است. برای این منظور، مدل‌ها و ابزارهای مختلفی برای تضمین ET_a به دلیل راهه روش‌های کاربرپسندتر و کارآمدتر برای کشاورزان و پژوهشگران ایجاد شده‌اند. با توجه به مطالعات انجام‌شده و کاربرد وسیع مدل‌های برآورد ET_a لازم است تمرکز بر روش‌های دقیق و سریع تعیین این پارامتر افزایش یابد. لذا هدف این مطالعه مقایسه روش‌های برآورد سنجش از دوری ET_a کاربرپسندانه‌تر، از جمله سامانه EEFUX ابزار METRICTOOL و روش انتخاب خودکار پیکسل سرد و گرم مدل‌های SEBAL و METRIC است.

مواد و روش‌ها: Earth Engine Evapotranspiration Flux یا به اختصار EEFLUX نسخه‌ای از مدل METRIC است که بر روی سیستم موتور Google Earth کار می‌کند. ابزار جدید ArcGIS براساس مدل METRIC است. این ابزار پیش‌پردازش و شناسایی خودکار کالیبراسیون بالقوه و معرفی داده‌های ورودی را تسهیل کرده، زمان محاسبات را تا ۵۰٪ درصد کاهش می‌دهد و جایگزینی کاربرپسندتر از دیگر پلتفرم‌های موجود پیاده‌سازی مدل METRIC است. روش انتخاب خودکار پیکسل سرد و گرم شامل ایجاد یک نقشه بازنگری از پیکسل‌های واحد شرایطی که با استفاده از یک طبقه‌بندی کننده ساده مبتنی بر قانون شناسایی می‌شوند، و استفاده از الگوریتم جست‌وجوی جامع برای شناسایی پیکسل‌های گرم و سرد، مطالعه با عیارهای تعریف شده است. برای برآورد ET_a با استفاده از روش‌های نامورده از ۶ توصیه ماهواره‌ای Landsat 8 در طول دوره کاشت محصول گندم زمستانه مزارع دانشگاه تهران واقع در محمدشهر کرج استفاده شد. ارزیابی روش‌های مذکور با استفاده از تبخیر و تعرق مرجع یونجه (ET_a) با استفاده از روش FAO-Penman-Monteith به عنوان داده مرجع انجام شد.

نتایج و بحث: RMSE سامانه EEFUX ابزار METRICTOOL و SEBAL مدل METRIC را به ترتیب ۰.۳۳، ۰.۴۵، ۰.۳۹ و ۰.۴۷ به دست آمد. با توجه به نتایج محصول تبخیر و تعرق سامانه EEFUX به رغم اختلاف عددی با دیگر روش‌ها همیستگی معناداری با آن‌ها داشت. مثلاً R^2 بین ET_a این سامانه و ابزار METRICTOOL ۰.۹۱ برآورد شد. نتیجه آن است که گرچه داده‌های این سامانه به دلیل استفاده از داده‌های هواشناسی جهانی CFSV2 در ایران برای مطالعات محلی از دقت کافی برخوردار نیستند، اما در مطالعات مناطق با وسعت بالا یا جهانی نتایج قابل قبولی به دست می‌دهند. ابزار METRICTOOL و مدل METRIC خودکار بیشترین همیستگی ($R^2=0.99$) و نزدیکی عددی را با یکی‌گر داشتند و به ترتیب با ۰.۳۳ و ۰.۴۹ دقت بالاتری نسبت به مدل SEBAL خودکار دارند.

نتیجه‌گیری: با توجه به نتایج عددی رویکرد انتخاب خودکار پیکسل سرد و گرم می‌تواند دقت مشابهی در مقایسه با ابزار METRICTOOL داشته باشد. بدین ترتیب رویکرد خودکار کارایی مدل را از نظر زمان و بازده افزایش و می‌تواند خطای انسانی در تخمین تبخیر و تعرق را برای کاربران جدید یا بی‌تجربه کاهش دهد و این مدل‌ها را در دسترس عموم کاربران فرار دهد. همچنین داده‌های EEFLUX می‌توانند در مطالعات با وسعت بالا برای اقدامات مدیریتی کارایی لازم را داشته باشند.

واژه‌های کلیدی: امنیت غذایی، تبخیر و تعرق، سبال، متريک، سامانه EEFLUX

سمت

- دانشجوی کارشناسی ارشد سنجش از دور، گروه فتوگرامتری و سنجش از دور، دانشکده نقشه‌برداری، دانشگاه صنعتی خواجه نصیرالدین طوسی، تهران، ایران
- استاد گروه فتوگرامتری و سنجش از دور، دانشکده نقشه‌برداری، دانشگاه صنعتی خواجه نصیرالدین طوسی، تهران، ایران
- دانشجوی دکتری سنجش از دور، گروه فتوگرامتری و سنجش از دور، دانشکده نقشه‌برداری، دانشگاه صنعتی خواجه نصیرالدین طوسی، تهران، ایران



۱- مقدمه

مدل‌های بیلان انرژی تخمینی از ET_a را ارائه می‌دهند (Santos et al., 2008). مزیت روش بیلان انرژی این است که می‌توان از آن برای تعیین کمیت ابعاد مزارع آبیاری و آب مصرفی، بدون مراجعه به منبع آب استفاده کرد (Senay et al., 2007). ET از طریق شار گرمای نهان در معادله بیلان انرژی برآورد می‌شود. از جمله این روش‌ها می‌توان به مدل $TSEB$ ^۱ (Norman et al., 1998)، $SEBAL$ ^۲ (Bastiaanssen et al., 1995)، $SEBS$ ^۳ (Su, 2002)، $S\text{-SEBI}$ ^۴ (Roerink et al., 2000) و $METRIC$ ^۵ (Allen et al., 2007) اشاره کرد. در برخی مطالعات به مقایسه دقت این مدل‌ها با یکدیگر پرداخته شده است (Eswar et al., 2017; Wagle et al., 2017).
تاکنون از روش‌ها و سنجندهای مختلفی برای تخمین ET در مقیاس منطقه‌ای و جهانی استفاده شده است. انتخاب روش و نوع سنجنده به میزان داده‌های مورد نیاز، دسترسی به تصاویر سنجنده، اندازه منطقه مورد مطالعه و اهداف مطالعه بستگی دارد. با توجه به قدرت تفکیک مکانی و زمانی قابل قبول سنجنده $Landsat$ رایگان بودن این داده‌ها و داشتن دو باند حرارتی برخلاف سنجنده $Sentinel-2$ این سنجنده همچنان در تعیین ET موردن توجه مطالعات است (Wang et al., 2022; Derakhshandeh & Tombul, 2022; Mondal et al., 2022; Sobrino et al., 2021; Laipelt et al., 2021).
نایپر و همکاران (2019) بر اساس LST حاصل از تصاویر ماهواره‌ای $MODIS$ و $fRET$ ^۶، برای ۸ اقدام به استخراج نقشه‌های ET و عامل تنش رطوبت، یعنی نسبت ET واقعی به مرجع (fRET)، محاسبه آب مصرفی محصول و شناسایی تنش در باغ‌های انگور کردند. از مدل بیلان انرژی ALEXI/disALEXI بدین منظور استفاده شد.

1. Evapotranspiration

۲. بیلان انرژی دومنبغی
۳. الگوریتم بیلان انرژی سطح
۴. شاخص بیلان انرژی سطح ساده شده
۵. سیستم بیلان انرژی سطح
۶. نقشه‌برداری تبخیر و تعرق با کالیبراسیون درونی

امنیت غذایی که یکی از اهداف توسعه پایدار سازمان ملل است، افزایش تولید پایدار کشاورزی و کاهش هدررفت مواد غذایی را شامل می‌شود. به دلیل افزایش جمعیت، تولید جهانی غذا باید ۵۰ درصد افزایش یابد تا پاسخگوی نیاز جمعیت جهانی تا سال ۲۰۵۰ باشد (Chakraborty & Newton, 2011).
مناطق کشاورزی، به دلیل مدیریت نادرست منابع، همچنان امنیت غذایی در کشورهای در حال توسعه مشکلی جدی تلقی می‌شود (Calzadilla et al., 2013). از جمله شاخص‌های مهم در مبحث امنیت غذایی، آبیاری زمین‌های کشاورزی است. سنجش از دور امکان نظارت بر آبیاری در مقیاس‌های بزرگ را فراهم می‌آورد. خارج شدن آب بر اثر ترکیب دو فرایند مجزای تبخیر از سطح خاک و تعرق از گیاه تبخیر و تعرق (ET)^۷ نامیده می‌شود. مدیریت صحیح آبیاری به داشتن دانش دقیق از تبخیر و تعرق واقعی محصول (ET_a) که بیانگر میزان آب مصرفی از سطح زراعی بر حسب میلی‌متر است، متکی است (Allen et al., 1998).
با این حال، تخمین ET ساده نیست و برآورد دقیق آن مستلزم روش‌های پیچیده و داده‌های آب‌وهایی دقیق است (Thorp et al., 2019). به همین دلیل استفاده از مدل‌ها به جای اندازه‌گیری‌های میدانی، به‌ویژه در مطالعات با وسعت مکانی بالا توصیه می‌شود (Ramírez-Cuesta et al., 2020).
Allen et al. (1998)- $FAO56$ -ضریب محصول (P) به دلیل سادگی یکی از پرکاربردترین مدل‌های است. با این حال، این مدل‌ها تنوع مکانی ET_a را در نظر نمی‌گیرند و برای برآورد دقیق ET_a با چالش روبرو می‌شوند. برای رفع این محدودیت، پژوهشگران روش FAO-56 را با فناوری‌های سنجش از دور ادغام کرده تا نقشه‌های ET با توزیع مکانی ایجاد کنند (Ramírez-Cuesta et al., 2019).

برآورد ET مبتنی بر سنجش از دور از دهه ۱۹۸۰ آغاز شده و شامل مدل‌های مختلفی است که بر مبنای

و ۷ تصویر Landsat در^۱ GEE، که در بخش مواد و روش‌ها معرفی می‌شود، استفاده شد. ارزیابی براساس اندازه‌گیری‌های شار توسط سیستم گردابی کوواریانس انجام شد. نتایج آماری مقایسه مقادیر اندازه‌گیری شده با مدل SEBS و METRIC-EEFlux به ترتیب ۰.۷ و ۰.۱۳ میلی‌متر در روز و ضریب همبستگی ۰.۵۹ و ۰.۶۵ به دست آمد که بیانگر توافقات معقول از نظر روند و مقادیر است. مدل QWater به خوبی عمل نکرد و ضعیف‌ترین همخوانی ($R^2 = 0.08$) را با تخمین‌های زمینی نشان داد. در مطالعه سaha و همکاران (Saha et al., 2022) پیاده‌سازی خودکار مدل‌های SEBAL و LandMODET mapper با نام METRIC با استفاده از تصاویر TM-DEM و داده‌های آبوهوای Landsat-4-5 آزمایش شده است. ET₀ این دو مدل با مقادیر تشت تبخیر و روش METRIC-SEBAL مقایسه شد. نتایج حاصل از SEBAL و METRIC تفاوت‌هایی را در برآورد ET نشان می‌دهد که احتمالاً به دلیل تفاوت در محاسبه گرمای محسوس و مفروضات METRIC و SEBAL در بروندیابی ET آنی به روزانه است. این مطالعه پتانسیل این دو مدل را برای تخمین ET از تصاویر Landsat و داده‌های آبوهوای Merra-2 نشان می‌دهد. علاوه بر مطالعات یادشده در پژوهش‌های جدید بسیاری نیز (Shamloo et al., 2021; Jawad, & Mohamed, 2020; Tian et al., 2020) روش Penman-Monteith را به خصوص در صورت دسترسی نداشتن به اندازه‌گیری‌های زمینی و داده‌های گران لایسیمتر برای ارزیابی ET برآورده شده، استفاده کرده‌اند.

باتوجه به کاربرد وسیع تبخیر و تعرق واقعی گیاه در مدیریت آبیاری و منابع آبی لازم است تمرکز بر روش‌های سریع و کاربرپسندانه برآورد ET_a افزایش

باندهای حرارتی Landsat 8 با رزولوشن مکانی ۱۰۰ متر و الگوریتم DMS به رزولوشن باندهای مرئی این سنجنده (۳۰ متر) رسید. با به کارگیری الگوریتم TIMESAT بر روی محصول چهارروزه MCD15A3 LAI روزانه MODIS تولید شد. بهمنظور رسیدن به رزولوشن مکانی ۳۰ متر و زمانی بالا (روزانه)، با استفاده از STARFM نقشه‌های ET این دو سنجنده با یکدیگر تلفیق شدند. در نهایت مقایسه با داده‌های هواشناسی نشان داد که مدل از عملکردی مناسب با میانگین خطای مطلق ۰.۶ میلی‌متر در روز برخوردار است.

کمالی و نظری (Kamali & Nazari, 2018) با استفاده از تصاویر ۸ و مدل SEBAL نیاز آبی ذرت استان مازندران را مطالعه کردند. برای ارزیابی مدل، در زمان گذر ماهواره با استفاده از داده‌های ET₀ برای محاسبه شد. اقلیمی و روش FAO-Penman-Monteith با تقسیم ET₀ ذرت به ET₀، مقدار K ذرت به دست آمد. برای مقایسه نتایج مدل SEBAL با مقادیر RMSE، NWD و RB، به ترتیب ۰.۷۴، ۰.۷۳ و ۰.۷۴ میلی‌متر در روز به دست آمد. قادری و همکاران (Ghaderi et al., 2020) با استفاده از ۷ تصویر SEBAL و مدل Landsat 8 استان ایلام را برآورد و نیاز گیاه به آبیاری را در طول فصل رشد آن بررسی کردند. ارزیابی برآورد ET در این مدل، با روش FAO-Penman-Monteith انجام شد و نشان داد که SEBAL برای تخمین ET از دقت کافی برخوردار است. ارزیابی این مطالعه با محاسبه خطای جذر میانگین مربعات (RMSE)، میانگین درصد مطلق خطای (MAPE)، میانگین خطای اریبی (MBE) و ضریب همبستگی انجام شد.

نیسا و همکاران (Nisa et al., 2021) سه مدل METRIC-EEFlux و QWaterModel SEBS را برای تخمین ET روزانه در محصولات رازیانه، ذرت، علوفه و شبدار در جنوب ایتالیا به کار برdenد. ۳۶ تصویر ۵ Landsat

1. Google Earth Engine

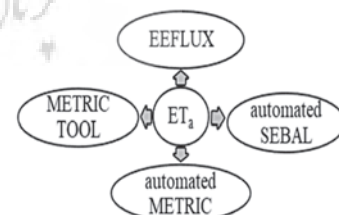
۱-۲- منطقه مورد مطالعه

منطقه مورد مطالعه مزرعه آموزشی-پژوهشی پرديس کشاورزی و منابع طبیعی دانشگاه تهران با مساحت حدود ۲۰ هکتار واقع در شهرکرج با عرض جغرافیایی ۳۵ درجه و ۵۶ دقیقه شمالی و طول جغرافیایی ۵۰ درجه و ۵۸ دقیقه شرقی با ارتفاع ۱۱۶۰ متر از سطح دریاست. با توجه به اندازه پیکسل ۳۰ متری سنجنده 8 Landsat منطقه مورد مطالعه حدود ۲۳۰۰ پیکسل از تصویر را پوشش می‌دهد. شهرستان کرج دارای آب و هوای نیمه‌بیابانی و خشک در تابستان و سرد در زمستان است. شکل ۲ محدوده این زمین‌ها را نشان می‌دهد. سیستم آبیاری سنتریپیوت است و از مهر تا آبان ۱۴۰۰ در چند تاریخ مختلف گندم و جو کاشته شده است.

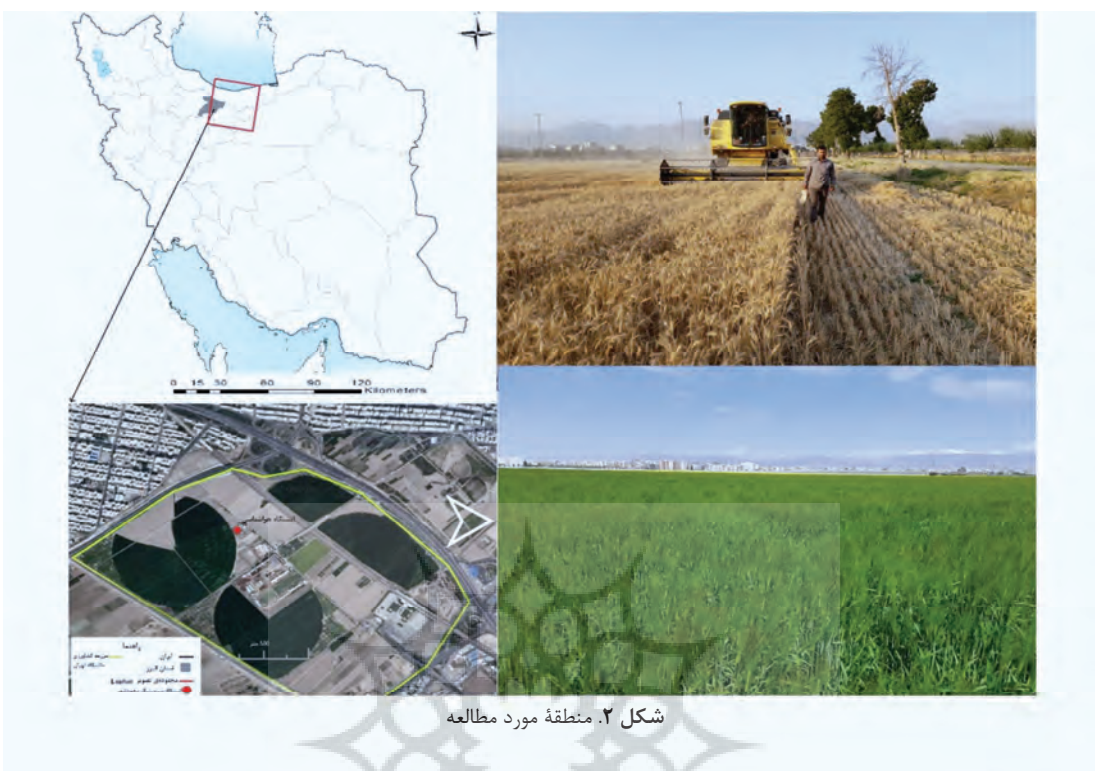
یابد. مثلاً با ارتقای مدل‌های خودکار، امکان پایش و مدیریت آب مصرفی مزارع توسعه مسئلان و کارشناسان بدون داشتن دانش تخصصی در زمینه سنجش از دور فراهم می‌شود. در این مطالعه همچنین دقت داده‌های EEFUX برای پایش زمین‌های کشاورزی در مناطق وسیع بررسی می‌شود. در ادامه درباره منطقه مورد مطالعه، داده‌های مورد استفاده، مقایه‌ی مدل‌های سنجش از دور برآورده ET_a همراه با روندnamای مراحل پیاده‌سازی بحث خواهد شد. سپس خروجی‌های هر مدل نمایش داده و ارزیابی و مقایسه خواهد شد. بخش نهایی شامل بحث و بررسی و نتیجه‌گیری است.

۲- مواد و روش‌ها**۲-۱- داده‌ها**

در این مطالعه از تصاویر ماهواره‌ای سنجنده 8 Landsat در برآورده ET استفاده شده است. شکل ۳ نمونه‌ای از تصویر 8 Landsat با رنگ واقعی را در تاریخ ۶ دی ۱۴۰۰ نشان می‌دهد. این سنجنده به دلیل داشتن دو باند حرارتی برخلاف سنجنده 2 Sentinel-2 و همچنین پیکسل ۳۰ متری، امکان نقشه‌برداری ET را در مقیاس میدانی فراهم می‌کند، به همین دلیل داده‌های Landsat به طور گستردگی در مدیریت منابع آب استفاده می‌شود. برای رسیدن به این دقت مکانی باند حرارتی سنجنده (رزولوشن مکانی ۱۰۰ متر) با باندهای چندطیفی ۳۰ متری بازنمونه‌برداری^۱ Bilinear می‌شود. جدول ۱ شامل داده‌های سنجش از دور و توان تفکیک مکانی مورد نیاز آن‌ها برای ورود به مدل است و از تاریخ تصاویر 8 Landsat استفاده شده است. تاریخ‌های پیاده‌سازی مربوط به طول دوره رشد گندم زمستانه است.



شکل ۱. مقایه‌ی کلی تحقیق

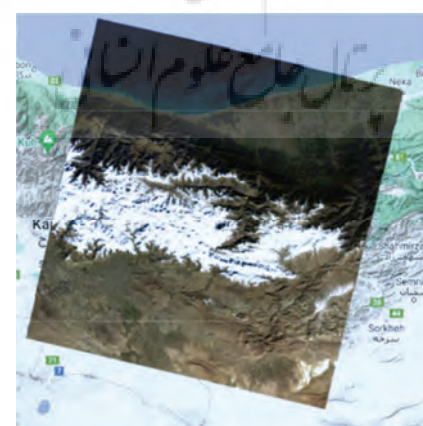


جدول ۱. داده‌های سنجش از دور مورد استفاده و تاریخ‌های پیاده‌سازی

داده سنجش از دور	Landsat 8	ارتفاعی (SRTM)	نقشه کاربری زمین	نقشه ابر و سایه	نقشه خاک
قدرت تفکیک مکانی	۳۰ متر	۳۰ متر	۳۰ متر	۳۰ متر	۲۵۰ متر

تاریخ گذر ماهواره

۱۴۰۰ دی	۱۴۰۰ ۲۴	۱۴۰۰ ۱۰	۱۴۰۰ ۲۶	۱۴۰۰ ۱۰ اسفند	۱۴۰۱ ۲۹ فروردین	۱۴۰۱ ۱۳۰ اردیبهشت	۱۴۰۱ بهمن
---------	---------	---------	---------	---------------	-----------------	-------------------	-----------



شده است، لازم است نقشه کاربری زمین ایران مطابق با کلاس‌های NLCD تولید شود. چندین الگوریتم یادگیری ماشین برای طبقه‌بندی تصاویر پیشنهاد شده است. در این میان الگوریتم جنگل تصادفی (RF) و ماشین‌های بردار پشتیبان (SVM) به دلیل پیچیدگی محاسباتی کمتر و تفسیرپذیری بیشتر مورد توجه Sheykhmousa et al., 2020; Zagajewski et al., 2021; Dang et al., 2021; Mountrakis et al., 2011. یک رویکرد ناپارامتریک جدید برای یافتن توابع متمایز خطی پیشنهاد می‌دهد و سعی می‌کند بین هر جفت از کلاس‌ها یک ابرصفحه منحصر به فرد پیدا کند. ابرصفحه بهینه فقط برای اطمینان از جداسازی بدون خطای دو نوع نمونه نیست، بلکه باید بزرگ‌ترین فاصله کلاس یا حاشیه را نیز ایجاد کند (Zhang, 2012). طبقه‌بندی کننده‌های درختی تشکیل نیز از ترکیبی از طبقه‌بندی کننده‌های درختی تشکیل شده است که در آن هر طبقه‌بندی کننده از یک بردار تصادفی که مستقل از بردار ورودی نمونه‌برداری شده، تولید می‌شود و هر درخت برای طبقه‌بندی بردار ورودی، رأی واحدی به محبوب‌ترین کلاس می‌دهد (Breiman, 1999). طراحی درخت تصمیم‌گیری مستلزم انتخاب یک معیار انتخاب ویژگی و یک روش هرس است. متداول‌ترین معیارهای انتخاب ویژگی در استنتاج درخت تصمیم‌گیری، معیار به دست آوردن اطلاعات (Quinlan, 1993) و ساختار جینی (Breiman et al., 1984) است. در این مطالعه نقشه کاربری در سامانه Google Earth Engine و با داده‌های آموزشی و تست حاصل از تصویر وضوح مکانی بالا موجود در

۲-۲-۱-داده‌های هواشناسی

برای ایجاد مدل‌ها داده‌های جدول ۲ به صورت ساعتی و روزانه مورد نیاز است. از آن‌جاکه داده‌های تابش ایستگاه‌های سینوپتیک ایران فقط به صورت روزانه موجود است، از داده‌های تابش ساعتی رایگان سنجنده استفاده شد. عهده‌دار این پایگاه داده اداره MERRA-2 کل ملی هوانوردی و فضا (NASA) است. MERRA-2 شامل مجموعه‌ای از پارامترهای فیزیکی از جمله تابش خورشیدی جهانی است. تابش خورشیدی در این سنجنده از ترکیب اندازه‌گیری‌های پیرانومتر و ادغام داده‌های ماهواره‌ای با مدل‌های انتقال تشعشعی ایجاد می‌شود (Razagui et al., 2021). طبق مطالعه خطیبی و همکاران داده‌های تابش و دمای این ماهواره با داده‌های هواشناسی زمینی همبستگی بالایی دارند (Khatibi et al., 2021). تبدیل داده‌های سه‌ساعتی هواشناسی ایستگاه‌های سینوپتیک به ساعتی با استفاده از درون‌یابی مقادیر انجام شد.

۲-۲-۲-نقشه کاربری زمین

پایگاه داده ملی پوشش زمین (NLCD)¹، شامل محصولات پوشش زمین و تغییرات آن با وضوح مکانی ۳۰ متر × ۵۰ متر متحده آمریکاست. آخرین نسخه آن یعنی 2019 NLCD شامل ۲۸ محصول مختلف پوشش زمین و تغییرات آن، نفوذناپذیری شهری و تغییرات، تاج پوشش و تغییرات آن، مناطق بوته‌ای و علفزار غربی ایالات متحده، یک لایه انرژی باد و یک شاخص تغییر پوشش زمین است (Wickham et al., 2013). از آن‌جاکه بجز METRICTOOL طبق چارچوب NLCD نوشته

جدول ۲. داده‌های هواشناسی مورد استفاده

داده هواشناسی واحد	دما °C	بارش mm	سرعت باد m/s	تابش خورشیدی W/m ²	ساعت آفتابی h	نسبی%	روطوبت	فشار بخار kpa	شبنم °C	ET ₀ mm/h	ET _r mm/h
--------------------	--------	---------	--------------	-------------------------------	---------------	-------	--------	---------------	---------	----------------------	----------------------

1. National Land Cover Database

$$\lambda LE = (R_n - G - H) \quad \text{رابطه (1)}$$

که در آن R_n شار تابش خالص (W m^{-2}), G شار حرارتی محسوس هدایت شده به خاک (W m^{-2}) و H شار حرارتی محسوس هدایت شده به هوای (W m^{-2}) است. مقادیر سمت راست معادله (1) عموماً با استفاده از ترکیبی از تصاویر حرارتی و موج کوتاه به راحتی تخمین زده می‌شوند. R_n نشان‌دهنده انرژی تابشی موجود برای سایر اجزای توازن انرژی است و براساس توازن بین شار تابشی ورودی و خروجی تعیین می‌شود (Allen et al., 2007a)

$$R_n = R_{s\downarrow} - \alpha R_{s\downarrow} + R_{L\downarrow} - (1 - \varepsilon_0)R_{L\downarrow} \quad \text{رابطه (2)}$$

$R_{s\downarrow}$ و $R_{L\downarrow}$ به ترتیب اجزای تابش موج کوتاه و بلند ورودی (W m^{-2}), α آلbedo سطح (بدون بعد)، یعنی نسبت شار تابشی منعکس شده به شار تابشی فرودی بر طیف خورشیدی، $R_{L\downarrow}$ تابش موج بلند خروجی (W m^{-2}) و ε_0 گسیلمندی حرارتی سطح (بدون بعد) است. شار حرارتی خاک G با یک تابع رابطه تجربی (Bastiansen, 2000) با تابش خالص و چند پارامتر سطحی دیگر، مانند albedo ، دمای سطح و شاخص گیاهی تفاضلی نرمال شده (NDVI) تعیین می‌شود:

$$\frac{G}{R_n} = \frac{T_s}{\alpha(0.0038\alpha + 0.0074\alpha^2)} (1 - 0.98NDVI^4) \quad \text{رابطه (3)}$$

T_s دمای سطح بر حسب کلوین است که از یک باند حرارتی به دست می‌آید. شار حرارتی محسوس (H) نشان‌دهنده شار حرارتی رسانا از سطح به اتمسفر است که ناشی از اختلاف دمای هوای بین دو ارتفاع مرجع نزدیک به سطح است (Brutsaert & Sugita, 1992).

$$H = \rho C_p \frac{dT}{r_{ah}} \quad \text{رابطه (4)}$$

که ρ چگالی هوای (kg m^{-3}), C_p گرمای ویژه هوای در یک فشار ثابت ($\text{J kg}^{-1} \text{K}^{-1}$), r_{ah} مقاومت آبرودینامیکی در برابر انتقال حرارت (s m^{-1}) و dT اختلاف دما (K) بین دو ارتفاع نزدیک سطح (معمولأ ۰.۱ و ۲ متر بالاتر از صفحه جابه‌جایی صفر) است.

سامانه و با استفاده از طبقه‌بندی‌کننده‌های SVM و RF تولید شد.

۳-۲-۲- سامانه Google Earth Engine

Google Earth Engine یک پلتفرم ابری ذخیره و پردازش مجموعه‌های عظیم داده (در مقیاس پتابیات) برای تجزیه و تحلیل و تصمیم‌گیری نهایی است (Kumar & Mutanga, 2018). پس از رایگان شدن داده‌های Landsat در سال ۲۰۰۸، گوگل تمام آن‌ها را بایگانی و برای استفاده متن‌باز به موتور محاسبات ابری مرتبط کرد. آرشیو فعلی داده‌ها شامل تصاویر ماهواره‌ای دیگر و همچنین داده‌های برداری مبتنی بر سیستم‌های اطلاعات جغرافیایی (GIS)، آب و هوای مدل‌های رقومی ارتفاعی و اقلیمی است. از جمله مزیت‌های GEE عبارت است از: دسترسی آسان و کاربرپسند و رفع نیاز به رایانه‌های با قدرت پردازش و حافظه بالا (Mutanga & Kumar, 2019).

۲-۳- مفاهیم مدل‌های برآورد تبخیر و تعرق

در این بخش به مفاهیم و معادلات لازم دو مدل پرکاربرد SEBAL و METRIC در برآورد تبخیر و تعرق واقعی پرداخته و همچنین تفاوت این دو الگوریتم بیان خواهد شد.

۲-۳-۱- مدل SEBAL

الگوریتم توازن انرژی سطح زمین یا SEBAL یک روش تخمین a مکانی مبتنی بر توازن انرژی و سنجش از دور ماهواره‌ای است که بین شار حرارتی محسوس و گرمای نهان شار تبخیر تقسیم می‌شود (Sun et al., 2011). SEBAL یک توازن کامل بین تشعشع و انرژی را همراه با مقاومت‌های حرکت، گرما و بخار آب برای هر پیکسل محاسبه می‌کند. ET بر حسب شار گرمای نهان آنی، (λET (W m^{-2})) و به عنوان باقی‌مانده معادله توازن انرژی سطح در لحظه عبور ماهواره به صورت پیکسل به پیکسل محاسبه می‌شود (Allen et al., 2007a).

۲-۳-۲- مدل METRIC

دانشگاه آیداهو ایالات متحده آمریکا براساس الگوریتم (Bastiansen et al., 1998) SEBAL، مدلی برای تخمین ET به نام METRIC ارائه کرده است (Allen et al., 2007a). در METRIC، ET توسط ماهواره از Landsat (2007a) طریق محاسبه انرژی موجود با استفاده از دمای سطح زمین (T_s) حاصل از باندهای حرارتی تصاویر ماهواره‌ای، برای محدود کردن شار گرمای برای یک یا چند لایه (تاج پوشش و خاک) و سپس محاسبه گرمایی نهان بهعنوان باقی‌مانده تعادل انرژی سطح محاسبه می‌شود (Zhang et al., 2015). به عبارت دیگر، انرژی استفاده شده در فرایند ET باقی‌مانده از معادله SEBAL در نظر گرفته می‌شود. تفاوت عمده بین این دو الگوریتم آن است که SEBAL λLE در پیکسل سرد برابر با انرژی موجود در (یا $H = 0$) است، درحالی‌که در METRIC پیکسل سرد % ۵٪ بیشتر از ET مرجع یونجه در نظر گرفته می‌شود (Allen et al., 2007b). محاسبه $R_n \lambda LE$ مدل METRIC مانند معادلات (۱)، (۲) و (۴) در مدل METRIC با استفاده از معادله SEBAL است. G در METRIC (Tasumi, 2003) محاسبه تجربی توسعه یافته در LAI در این معادله شاخص سطح برگ است.

$$G = R_n(0.05 + 0.18e^{-0.521LAI}) \quad LAI \geq 0.5$$

$$G = R_n \left(0.084 + \frac{1.80(T_s - 273.16)}{R_n} \right) \quad LAI \leq 0.5$$

هنگامی که تمام اجزای معادله (۶) تعیین شود، ET در زمان اخذ تصویر ماهواره‌ای (ETinst) در سطح پیکسل با تقسیم λLE از معادله (۱) بر چگالی آب (ρw) ۱۰۰۰ $kg\ m^{-3}$ و گرمایی نهان تبخیر (λ) محاسبه می‌شود. ثابت ۳۶۰۰ ضریب تبدیل از ثانیه به ساعت است (Ramírez-Cuesta et al., 2020).

$$ET_{inst} = 3600 \frac{\lambda LE}{\lambda \rho w} \quad (9)$$

آنی به شاخصی به نام کسر ET_r یا ET_{rf} تبدیل می‌شود. امکان تبدیل اطلاعات لحظه‌ای ET را

dT بهعنوان یکتابع خطی از T_s محاسبه می‌شود که باستیانسن در سال ۱۹۹۵ پیشنهاد کرده است (Bastiansen et al., 1998).

$$dT = a + bT_s \text{ datum} \quad (5)$$

تعريف ضرایب a و b مستلزم انتخاب دو پیکسل بیانگر شرایط شدید دما و رطوبت است که پیکسل‌های سرد و گرم نامیده می‌شوند. پیکسل سرد سطح محصول به خوبی آبیاری شده با پوشش کامل و دمای سطح (T_s) نزدیک به دمای هوا (T_a) است. پیکسل گرم یک زمین کشاورزی بدون محصول و خشک است که ET λ صفر در نظر گرفته می‌شود. شار گرمای نهان لحظه‌ای، یعنی از باقی‌مانده معادله توازن انرژی به دست می‌آید و سپس برای محاسبه کسر تبخیری آنی A استفاده می‌شود (Bastiansen et al., 1998).

$$A = \frac{\lambda LE}{\lambda LE + H} = \frac{\lambda LE}{R_n - G_0} \quad (6)$$

کسر تبخیر آنی A ، نسبت تبخیر واقعی به تقاضای محصول را در زمانی که رطوبت جو با رطوبت خاک در تعادل است، بیان می‌کند. چندین مطالعه (Crago, 1996; Farah, 2001; Farah et al., 2004) نشان دادند که در طول روز، مقادیر A تقریباً طی زمان ثابت‌اند که امکان استفاده از آن را به عنوان یک پارامتر با ادغام زمانی فراهم می‌کند. برای مقیاس‌های زمانی یک روزه یا بیشتر، می‌توان G را نادیده گرفت. بدین ترتیب انرژی خالص موجود ($R_n - G$) به تابش خالص (R_n) کاوش می‌یابد. در مقیاس زمانی روزانه، ET_{24} (میلی‌مترا در روز) را می‌توان به صورت زیر محاسبه کرد (Bastiansen et al., 1998).

$$ET_{24} = \frac{86400 \times 10^3}{\lambda \rho w} A R_{n24} \quad (7)$$

میانگین تابش خالص R_{n24} ($W\ m^{-2}$) میانگین تابش خالص ۲۴ ساعت، λ گرمای نهان تبخیر و ρw ($kg\ m^{-3}$) چگالی آب است.

EEFlux و زبری سطح استفاده می‌کند. در $ET_{r,F}$ با استفاده از گیاه مرجع یونجه «بلند» مانند آنچه در معادله استاندارد ASCE Penman-Monteith تعریف شده است، محاسبه می‌شود (Allen et al., 2015).

بهصورت روزانه یا ماهانه فراهم می‌کند. در $ET_{r,F}$ سنجش از دور مشابه «ضریب محصول» است که بهطور سنتی استفاده می‌شود (Allen et al., 2007a).

$$ET_{r,F} = \frac{ET_r}{ET_r} \quad (1)$$

۲-۴-۲- تعیین تبخیر و تعرق تصاویر Landsat مدل METRICTOOL با استفاده از ابزار METRIC

METRIC-GIS یک ابزار جدید در ArcGIS براساس مدل METRIC است. این ابزار پیش‌پردازش و شناسایی خودکار کالیبراسیون بالقوه و معرفی داده‌های ورودی را تسهیل کرده، زمان محاسبات را تا ۵۰ درصد کاهش می‌دهد و جایگزینی کاربرپسندتر از سایر پلتفرم‌های موجود پیاده‌سازی مدل METRIC است. METRIC-GIS با استفاده از زبان ArcPy ایجاد شد (Ramírez-Cuesta et al., 2020). شکل ۴ مراحل کلی کار با این ابزار را نشان می‌دهد. داده‌های هواشناسی ورودی به مدل مربوط به روز گذر ماهواره و روز قبل و بهصورت ساعتی است. مدل درون‌یابی این داده‌ها را در زمان گذر ماهواره انجام خواهد داد. از آنجاکه METRICTOOL مطابق کلاس‌های نقشه NLCD نوشته شده، لازم است برای ایران یک نقشه کاربری مطابق کلاس‌های NLCD تولید شود.

ET_r تبخیر و تعرق مرجع یونجه است که در انجمن مهندسان عمران آمریکا تعریف و از داده‌های آبوهوا محاسبه شده است (Tasumi et al., 2005) ماهانه یا فصلی با معکوس کردن معادله (۱۰) به شکل $ET = ET_{r,F} \times ET_r$ با درون‌یابی مقادیر $ET_{r,F}$ برای روزهای مابین تصاویر ماهواره‌ای و ET_r حاصل از داده‌های آبوهوای تخمين زده می‌شود (Allen et al., 2007a).

۲-۴-۳- روش‌های سنجش از دوری برآورد تبخیر و تعرق

با توجه به دلایل یادشده در مقدمه، افزایش نیاز به مدیریت آبیاری کشاورزی ازسوی عموم کاربران، مستلزم تمرکز مطالعات بر الگوریتم‌ها و ابزارهای کاربرپسند و خودکار است. لذا در این بخش محصولات METRICTOOL تبخیر و تعرق سامانه EEFLUX، ابزار METRICTOOL و روش خودکار انتخاب پیکسل‌های سرد و گرم معرفی و در بخش آتی پیاده‌سازی و بررسی می‌شود

روش خودکار انتخاب پیکسل سرد و گرم در مدل METRIC و SEBAL

تمرکز این بخش، کاربرد الگوریتم جستجوی جامع (ESA) در بهینه‌سازی فرایند انتخاب پیکسل‌های عضو انتهایی مدل METRIC و SEBAL است. ESA یک روش بهینه‌سازی ساده است که در آن همه‌های نامزد‌های ممکن به طور نظاممند در نظر گرفته و بررسی می‌شوند تا مشخص شود که آیا راه حل تعریف شده برآورده شده است یا خیر (Bhattarai et al., 2017). رویکردهای ESA در طیف وسیعی از مسائل مانند توسعه یک مدل پارامترسازی استخراج ویژگی‌های حمل و نقل (Hodgson et al., 2004) و در یک مدل کالیبراسیون خودکار برای تشخیص تغییرات باینتری (Im & Hodgson et al., 2009) کاربرد

۲-۴-۴- محصولات تبخیر و تعرق سامانه EEFLUX

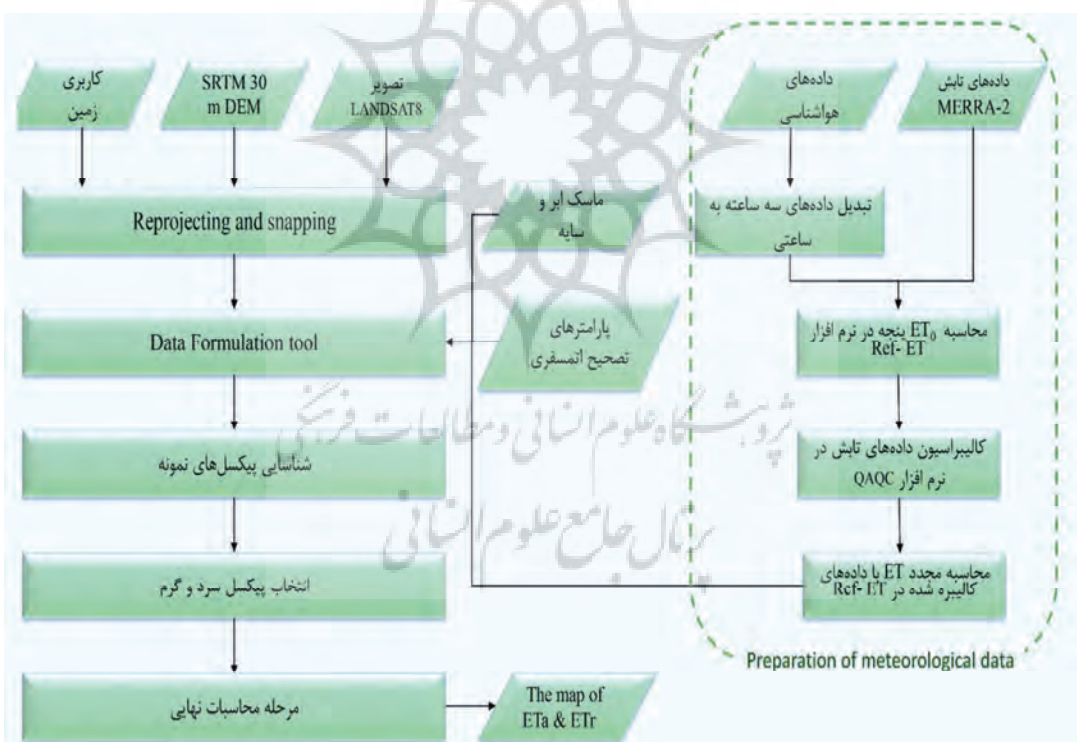
Earth Engine Evapotranspiration Flux یا به اختصار نسخه‌ای از مدل EEFLUX است که بر روی سیستم موتور Google Earth کار می‌کند. این سامانه در دانشگاه نبراسکا - لینکلن، مؤسسه تحقیقات دیزرت و دانشگاه آیداهو با حمایت مالی گوگل توسعه یافته است. EEFlux صحنه‌های منفرد تصاویر Landsat را از سال ۱۹۸۴ تاکنون و تقریباً برای هر منطقه روی کره زمین پردازش می‌کند. این سامانه از داده‌های آبوهوای NLDAS در ایالات متحده و داده‌های CFSV2 در سطح جهانی استفاده می‌کند. ET واقعی باقی‌مانده معادله (۱) خواهد بود. EEFlux از باند حرارتی Landsat در معادله تعادل انرژی سطح و از باندهای موج کوتاه برای تخمين مقادیر پوشش گیاهی،

FAO-Penman- O_i مقادیر روز نام در معادله میانگین الگوریتم‌های METRIC و SEBAL در روز نام را نشان می‌دهد. N بیانگر تعداد روزهای مورد مطالعه است (Ghaderi et al., 2020). همچنین با استفاده از معیار ضریب همبستگی (R^2) ارتباط بین نتایج الگوریتم‌های مختلف برآورد ET ارزیابی خواهد شد. نقشه کاربری تولیدی نیز با معیار دقت کلی^۱ ارزیابی خواهد شد. دقت کلی از نسبت مجموع عناصر مورب ماتریس خط، یعنی تعداد پیکسل‌های درست طبقه‌بندی شده به کل پیکسل‌های تست به دست می‌آید (Fitzgerald et al., 1994).

روش خودکار پیشنهادی (شکل ۵) دارای دو مرحله اساسی است: (۱) ایجاد یک نقشه باینری از پیکسل‌های واجد شرایط که با استفاده از یک طبقه‌بندی کننده ساده مبتنی بر قانون شناسایی می‌شوند، و (۲) استفاده از برای شناسایی پیکسل‌های گرم و سرد، مطابق معیارهای تعریف شده (Bhattarai et al., 2017).

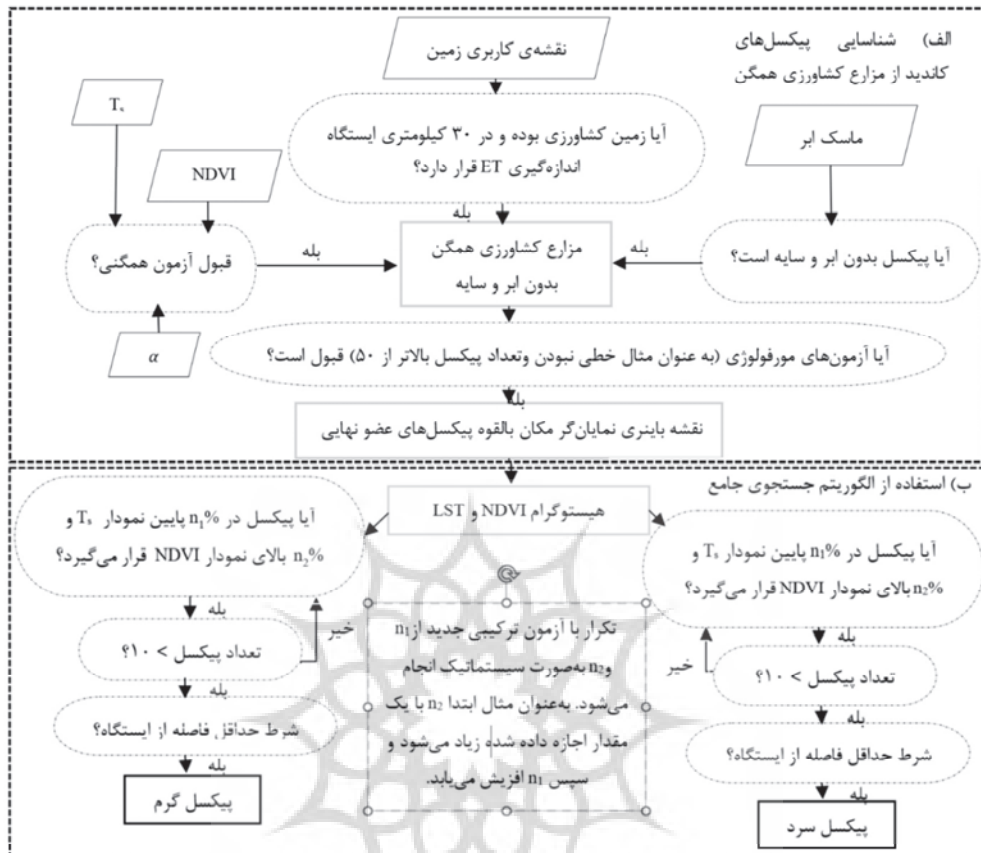
۴-۲-۴- ارزیابی دقت
برای ارزیابی مدل از معیار آماری خطای جذر میانگین مربعات (RMSE) استفاده شد. RMSE به صورت زیر محاسبه می‌شود:

$$RMSE = \sqrt{\frac{\sum_{i=1}^N (O_i - P_i)^2}{N}} \quad (11)$$



شکل ۴. روندمنای کار با ابزار METRICTOO

1. overall accuracy



شکل ۵. مراحل کار در الگوریتم انتخاب خودکار پیکسل سرد و گرم (Bhattarai et al., 2017)

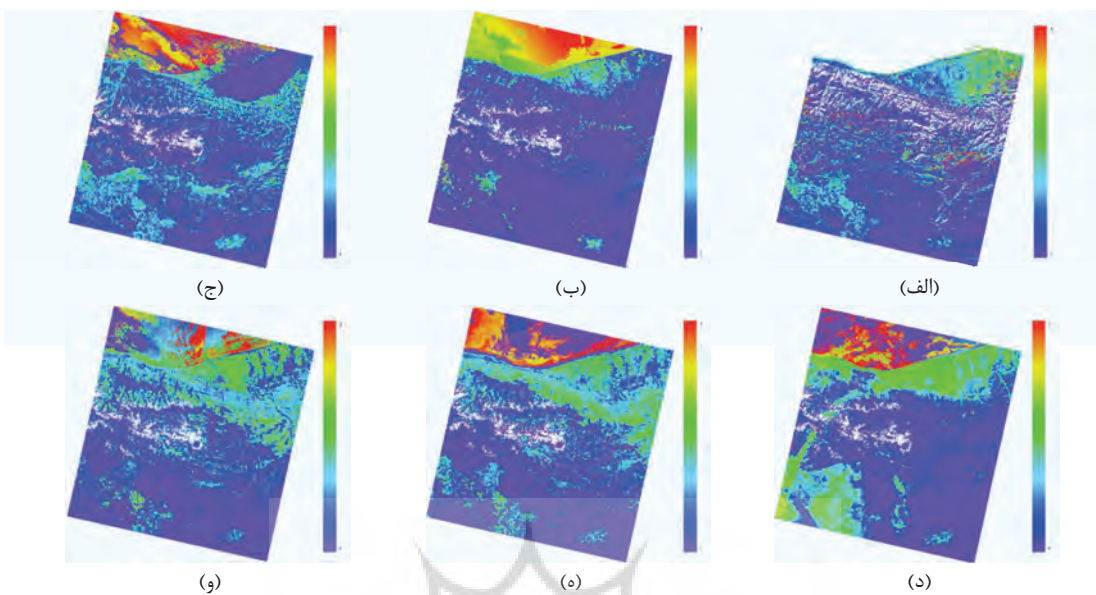
۳- نتایج

این بخش شامل تصاویر ET_a سامانه EEFLUX در شش تاریخ پیاده‌سازی و تغییرات میانگین آن با تغییرات دما، نتایج طبقه‌بندی زمین و مراحل کار با نرم‌افزار METRIC TOOL، الگوریتم خودکار مدل SEBAL و METRIC، مقایسه عددی و ارزیابی روش‌های مذکور با استفاده از معادله FAO-Penman-Monteith است.

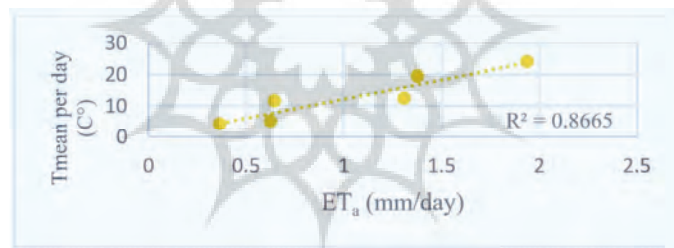
با توجه به شکل ۷ با گرم شدن هوا میانگین ET_a تصاویر سامانه EEFLUX به طور کلی روندی افزایشی داشته و این مقادیر با میانگین دمای هوا در این تاریخ‌ها دارای ضربی همبستگی 0.87 ± 0.08 است. دمای روزانه استفاده شده در تعیین میزان همبستگی از میانگین ۵ ایستگاه هواشناسی در محدوده صحنه ۸ Landsat ۸ تعیین شده است.

۱-۳- نتایج سامانه EEFLUX

شکل ۶ محصول ET_a Landsat 8 بر حسب میلی‌متر در روز حاصل از سامانه EEFLUX را در تاریخ‌های انتخابی نشان می‌دهد. میانگین ET_a کل صحنه تصویر دارای کمترین



شکل ۶. سامانه ET_a سامانه EEFLUX در تاریخ‌های (الف) ۶ دی ۱۴۰۰؛ (ب) ۲۴ بهمن ۱۴۰۰؛ (ج) ۱۰ اسفند ۱۴۰۰؛ (د) ۲۶ اسفند ۱۴۰۰؛ (۵) ۲۹ فروردین ۱۴۰۱؛ (و) ۳۰ اردیبهشت ۱۴۰۱



شکل ۷. ارتباط بین ET_a و دما

با استفاده از داده‌های تست دقت کلی ۶۴.۰٪ SVM و ۸۳.۶٪ RF به دست آمد. بنابراین روش RF برای ورودی ابزار METRIC انتفاده شد. تصویر DEM و نقشه طبقه‌بندی باید دارای وضوح و مشخصات مکانی یکسان با تصاویر Landsat باشند. بنابراین لازم است عملیات تبدیل سیستم مختصات شبکه‌ای^۱ این تصاویر با تصویر Landsat و یکسان‌سازی موقعیت پیکسل‌ها^۲ انجام شود. برای این منظور در تصویر DEM نمونه‌برداری Bilinear با تبدیل rigorous و برای نقشه کاربری زمین نمونه‌برداری نزدیک‌ترین همسایگی با تبدیل rigorous استفاده شد.

1. reprojeciton

2. snapping

۳-۲- پیاده‌سازی ابزار METRICTOOL

با استفاده از سامانه GEE و روش‌های SVM و RF بر تصاویر 8 Landsat در بازه زمانی مه ۲۰۲۰ تا سپتامبر ۲۰۲۱ (تصویر) با درصد ابر کمتر از ۲ و ایجاد تصویر میانه، نقشه کاربری زمین ایران (شکل ۸) مطابق با NLCD تولید شد. طبق جدول ۳ داده‌های بالا موجود در سامانه GEE تشکیل شد. جدول ۴ نیز شامل پارامترهای تعریفی برای هریک از روش‌های SVM و RF، در سامانه GEE است.

جدول ۳. اطلاعات مربوط به طبقه‌بندی مطابق نقشه NLCD

کد کلاس	نام کلاس	مناطق توسعه یافته تراکم بالا	مناطق توسعه یافته تراکم متوسط	یخ	آب	تعداد نمونه‌های آموزشی	تعداد نمونه‌های تست	۹۵	۸۲	۷۱	۴۱	۳۱	۲۴	۲۳	۱۲	۱۱	
تالاب	زمین کشاورزی	علفزار	جنگل	زمین بایر													
۱۲۵	۲۵۴	۱۰۵	۲۱۷	۲۷۱	۲۹۰	۲۵۰	۲۱	۱۲۳									
۲۰	۲۰	۲۰	۲۰	۲۰	۲۰	۲۰	۲۰										

جدول ۴. پارامترهای تعریفی طبقه‌بندی SVM و RF در GEE

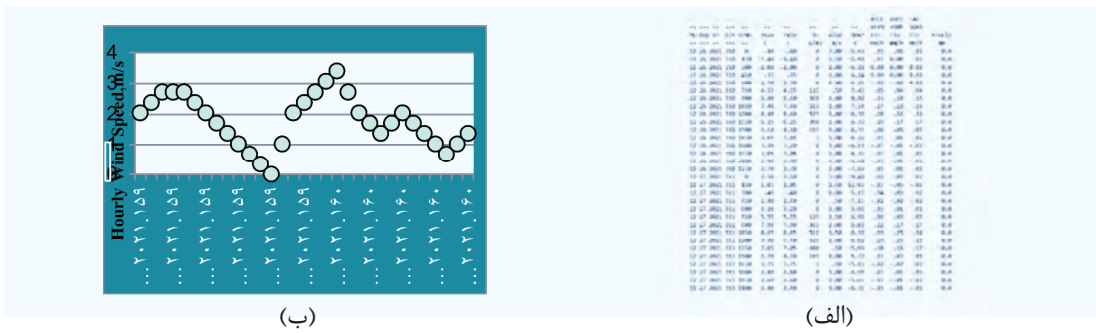
shinking	kernelType	svmType	decisionProcedure	آرگومان	SVM
true	LINEAR	C_SVC	Voting	نوع	
bagFraction	minLeafPopulation	variablesPerSplit	numberOfTrees	آرگومان	RF
.۵	۱	null	۱۵	نوع	



شکل ۸. نقشه کاربری زمین ایران مطابق نقشه NLCD

تبخیر و تعرق با داده‌های سرشکن شده مجدداً در نرم‌افزار Ref-ET حساب می‌شود. شکل ۹.الف نمونه‌ای از داده‌های هواشناسی پردازش شده و آماده برای ورود به ابزار METRIC TOOL را نشان می‌دهد. شکل ۹.ب نیز شامل تغییرات سرعت باد رسم شده در نرم‌افزار QAQC طی روز گذر ماهواره و روز پیش از آن را در تاریخ ۶ دی ۱۴۰۰ است.

ساعتی با استفاده از داده‌های هواشناسی ET₀ ذکر شده، به روش ASCE Penman-Monteith و در نرم‌افزار Ref-ET Standardized از آنجاکه ایستگاه هواشناسی در محدوده مورد مطالعه است، نیازی به درون‌یابی داده‌های دو ایستگاه هواشناسی نیست. ET خروجی نرم افزار Ref-ET برای سرشکنی داده‌های تابش وارد نرم‌افزار QAQC، سپس



شکل ۹. (الف) نمونه‌ای از داده‌های هواشناسی پردازش شده؛ (ب) تغییرات سرعت باد طی دو روز متوالی

صف، قابلیت انتقال هوا باند باریک در محدوده طیفی باند حرارتی و پارامترهای مربوط به تعادل آب و خاک است. رسترهای خروجی این مدل فرعی عباراتند از: α ، ضریب انتقال، R_{so} ، شاخص اختلاف نرمال شده آب (NDWI)، شاخص اختلاف نرمال شده برف (NDSI)، T_s و ضریب G برای مواد آلی (GxOM).

مرحله دوم (الف) شناسایی پیکسل‌های نمونه و (ب) نمونه‌برداری پیکسل‌های شناسایی شده: شناسایی پیکسل‌ها یا نقاط پتانسیل برای نمونه‌برداری کالیبراسیون از نواحی یکنواخت و در مرحله بعد استخراج مقادیر رسترهای NLCD DEM، قابلیت انتقال، LAI ، $NDVI$ ، α ، R_{so} ، $GxOM$ و T_s در آن نقاط در این مرحله انجام می‌شود.

مرحله سوم محاسبات نهایی: در این مرحله اجزای مختلف تعادل انرژی با استفاده از پیکسل سرد و گرم انتخاب شده محاسبه می‌شود. رسترهای خروجی حاصل از این مدل فرعی E_F ، K_c ، H ، G ، R_{so} و ET_c هستند.

مرحله چهارم E_F Adjustment: در نهایت یک تنظیم کسر تبخیری (EF) را با استفاده از ضرایب Slob سطح سرد و گرم در طول روز و برای دوره‌های ۲۴ ساعته (Allen et al., 2005)، ضریب وزن دهنی مؤثر طول روز، وزنی که باید به جزء ۲۴ ساعته EF داده شود ایجاد و انجام می‌شود. شکل ۱۰ ماهواره 8 Landsat برحسب میلی‌متر در روز حاصل از ابزار METRIC TOOL را در تاریخ‌های ذکر شده نشان می‌دهد. مشابه با محصول

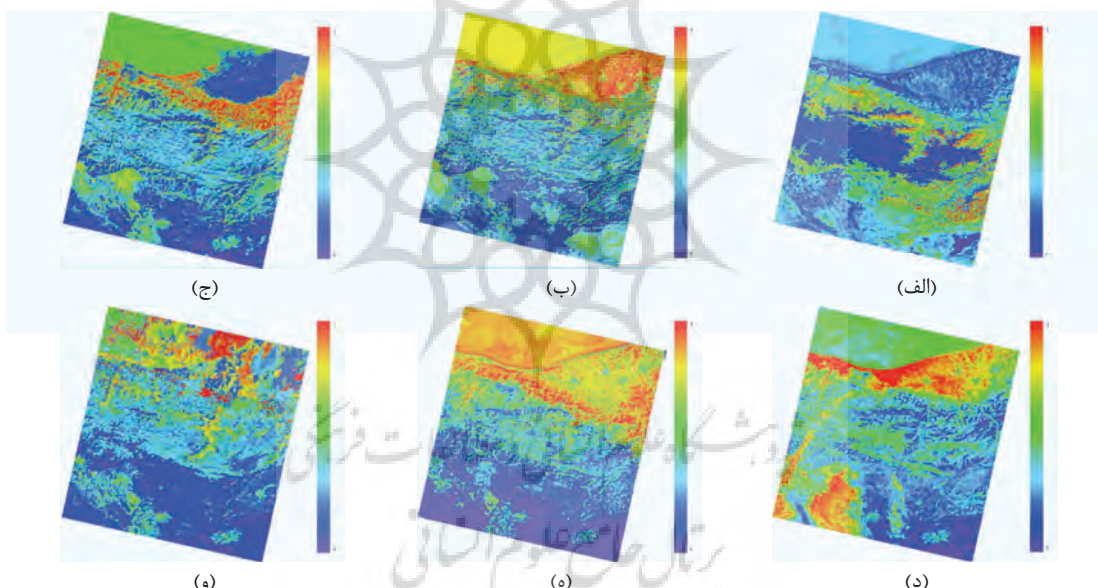
پارامترهای تصحیح اتمسفری و ماسک ابر: با مراجعه به سایت atmcorr.gsfc.nasa.gov، اطلاعات مربوط به زمان تصویر و مختصات مرکز آن وارد و سه پارامتر مقدار تابش عبوری اتمسفری، تابش آسمان رو به پایین، انتقال پذیری طول موج بلند در باند حرارتی تعیین می‌شود. ماسک ابر ورودی به مدل یک تصویر باینری بوده که مقادیر صفر بیانگر مناطق بدون ابر یا سایه و مقادیر یک نواحی ابر یا سایه است. با استفاده از سامانه GEE و الگوریتم FMASK ماسک ابر تولید شد. پس از آماده‌سازی داده‌های ورودی اولیه مدل METRIC، مراحل پیاده‌سازی در این ابزار که شامل چهار مرحله بوده آغاز شد، که توضیحات هر مرحله در ذیل آورده شده است.

مرحله اول Data formulation: اولین مدل فرعی به نام فرمول‌بندی داده، پارامترهای مورد نیاز برای شناسایی نامزدهای انتخاب پیکسل‌های «لنگر» را محاسبه می‌کند. ورودی‌های مورد نیاز این مدل شامل تصویر ۳۰ DEM Landsat، نقشه کاربری، شبیه‌فایل محدوده مورد مطالعه، فایل داده هواشناسی شامل داده‌های ساعتی همراه با مختصات و اطلاعات بادسنج و دماسنج ایستگاه، ماسک ابر و سایه، ضریب شفافیت اتمسفر، حداقل مقدار α هنگام دید نادری ماهواره Landsat، نرخ گذر مسطح و کوهستانی و ارتفاع زمین در نظر گرفته شده برای تغییر نرخ گذر، تابش مسیر باند حرارتی، تابش حرارتی باند باریک رو به پایین از آسمان

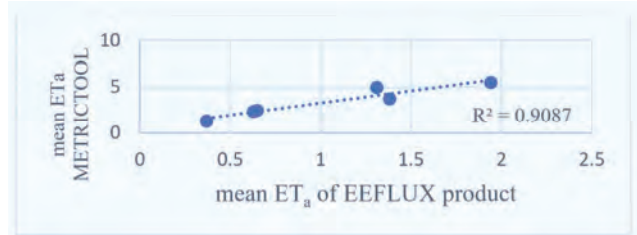
۳-۳- مدل انتخاب خودکار پیکسل سرد و گرم METRIC و SEBAL

در این مقاله دو مدل METRIC و SEBAL خودکار در نرم‌افزار متلب برای کار با تصاویر حرارتی Landsat انجام شده است. برای هریک از پارامترهای هواشناسی نقشه رستری با ابعاد محدوده مورد مطالعه ساخته می‌شود. در صورت وسیع بودن منطقه لازم است درون یابی مقادیر در داده‌های دو یا چند ایستگاه هواشناسی انجام شود. در صورت کوچک بودن منطقه، نقشه حاصل یک مقدار ثابت در کل پیکسل‌ها، یعنی مقدار پارامتر مدنظر در ایستگاه هواشناسی خواهد داشت. از نقشه کاربری زمین برای شناسایی زمین‌های کشاورزی در تعیین پیکسل‌های وارد شرایط در انتخاب پیکسل سرد و گرم استفاده می‌شود.

سامانه EEFLUX کمترین مقدار میانگین ET_a در کل صحنه تصویر مربوط به تاریخ ۶ دی ۱۴۰۰ و بیشترین مقدار در روز در ۳۰ اردیبهشت ۱۴۰۱ است. شکل ۱۱ میزان همبستگی میانگین ET_a سامانه METRICTOOL و ابزار METRICTOOL را با ضریب همبستگی ۹۱٪ نشان می‌دهد. اختلاف عددی در این دو روش به دلیل تفاوت داده‌های هواشناسی ورودی به مدل (سامانه EEFLUX از داده‌های آبوهوابی شبکه‌بندی‌شده CFSV2 در سطح جهانی و METRICTOOL از داده‌های هواشناسی ایستگاه‌های سینوپتیک کشور استفاده می‌کنند) و پیکسل سرد و گرم انتخابی پیش‌بینی می‌شود.



شکل ۱۰. ابزار METRICTOOL در تاریخ‌های (الف) ۶ دی ۱۴۰۰؛ (ب) ۲۴ بهمن ۱۴۰۰؛ (ج) ۱۰ اسفند ۱۴۰۰؛ (د) ۲۶ اسفند ۱۴۰۰؛ (ه) ۲۹ فروردین ۱۴۰۱؛ (و) ۳۰ اردیبهشت ۱۴۰۱



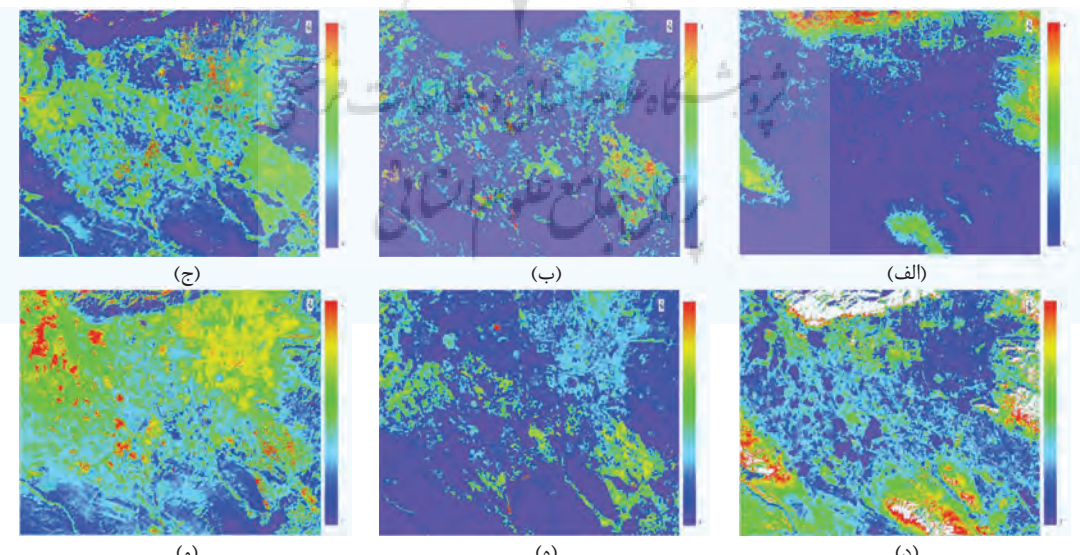
شکل ۱۱. ارتباط بین سامانه EEFLUX و ابزار METRICTOOL

پیکسل سرد در محدوده پایین هیستوگرام T_s و بالای هیستوگرام NDVI و پیکسل گرم در بالای T_s و پایین هیستوگرام NDVI قرار می‌گیرند (Allen et al., 2013). جزئیات بیشتر در روند انتخاب خودکار در (Bhattarai et al., 2017) به تفصیل بیان شده است. تعیین ET_a : پس از تعیین H , SEBAL کسر تبخیری محاسبه می‌کند، در حالی که در METRIC ET_F محاسبه می‌کند، در ET_F آنی به ET مرجع محاسبه می‌شود. به عنوان نسبت ET آنی به ET لحظه‌ای برای هر روز ثابت فرض می‌شوند. Λ در METRIC ET_r و تابش خالص روزانه خورشیدی در مدل SEBAL برای تخمین ET_a در هر پیکسل استفاده شد.

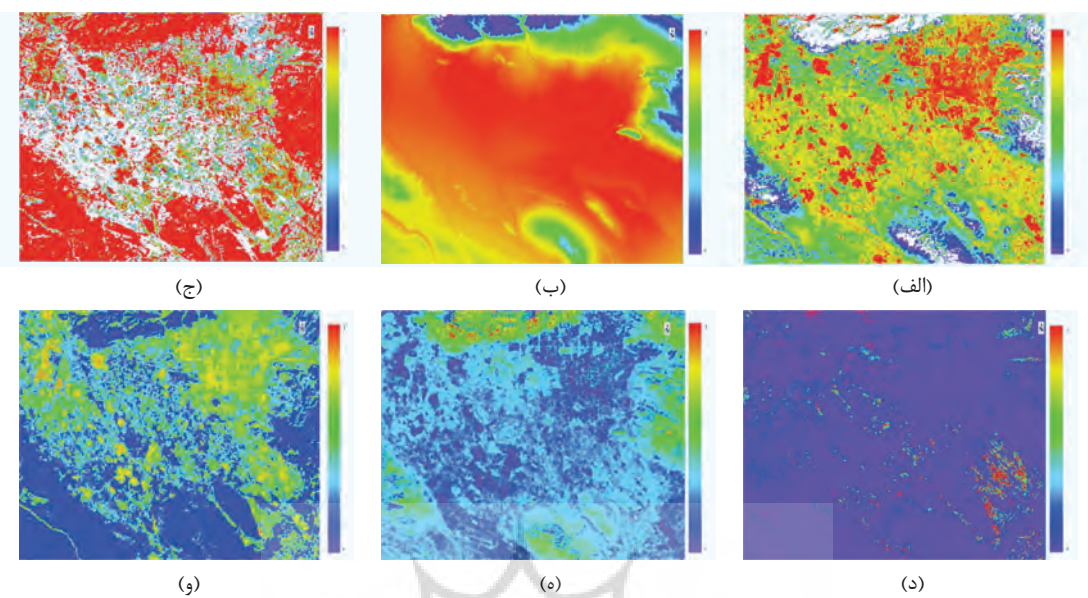
شکل ۱۲ و ۱۳ به ترتیب نتایج مدل SEBAL و METRIC در برآورد ET_a با روش انتخاب خودکار پیکسل‌های سرد و گرم در ۶ تصویر Landsat ۸ out of memory نرمافزار، می‌دهد. به علت خطای Λ در محدوده پنجره‌ای به ابعاد ۲۰۰۰ در ۱۸۰۰ پیکسل در ایستگاه سینوپتیک کرج در نظر گرفته شد و پیاده‌سازی مدل در این محدوده انجام شد.

- مرحله (الف) انتخاب پیکسل‌های کандید: معیار اصلی برای انتخاب پیکسل کандید این است که آن پیکسل به گروهی از پیکسل‌ها (یعنی یک شی) تعلق داشته باشد که واحد شرایط زیر باشد: (۱) در یک زمین کشاورزی همگن قرار دارد، (۲) از نظر نوع پوشش زمین، T_s و $NDVI$ همگن است، (۳) در ابر یا سایه نیست و (۴) حاوی حداقل ۵۰ پیکسل (برای اندازه پیکسل ۳۰ متر) است که شکل خطی ندارند (یعنی زنجیره‌ای طولانی از پیکسل‌های منفرد نباشد). همگنی پوشش زمین با حذف پیکسل‌های دارای یک یا چند پیکسل غیر از زمین α کشاورزی در یک پنجه 7×7 ، همگنی $NDVI$ و α با محاسبه ضریب تغییرات (CV) در یک پنجه با همان ابعاد و رد پیکسل‌های با CV بالای ۲۵٪ و برای T_s با اعمال یک فیلتر انحراف استاندارد (7×7) و رد پیکسل‌های با مقادیر بزرگ‌تر از ۱.۵ کلوین انجام شد. از توابع مورفولوژیکی در نرمافزار Matlab برای رد پیکسل‌هایی که متعلق به شیء کوچک‌تر از ۵۰ پیکسل و یا شکل خطی داشته باشند، استفاده می‌شود.

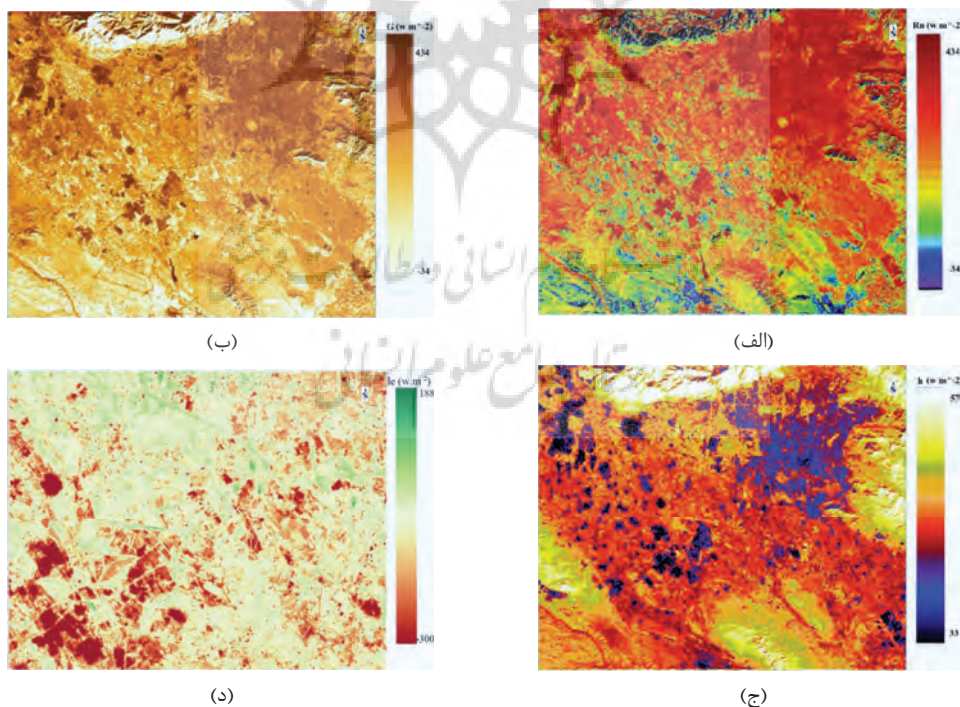
- مرحله (ب) انتخاب پیکسل سرد و گرم: ابتدا هیستوگرام $NDVI$ و T_s پیکسل‌های کандید رسم می‌شود.



شکل ۱۲. ET_a مدل METRIC خودکار در تاریخ‌های (الف) ۶ دی ۱۴۰۰؛ (ب) ۲۴ بهمن ۱۴۰۰؛ (ج) ۱۰ اسفند ۱۴۰۰؛ (د) ۲۶ اسفند ۱۴۰۰؛ (ه) ۲۹ فروردین ۱۴۰۱؛ (و) ۳۰ اردیبهشت ۱۴۰۱



شکل ۱۳. مدل SEBAL خودکار در تاریخ‌های (الف) ۶ دی ۱۴۰۰؛ (ب) ۲۴ بهمن ۱۴۰۰؛ (ج) ۱۰ اسفند ۱۴۰۰؛ (د) ۲۶ اسفند ۱۴۰۱؛ (ه) ۲۹ فروردین ۱۴۰۱؛ (و) ۳۰ اردیبهشت ۱۴۰۱

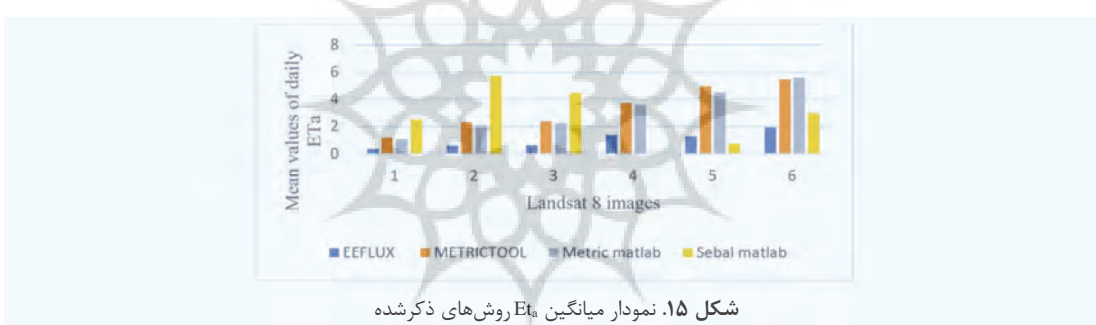
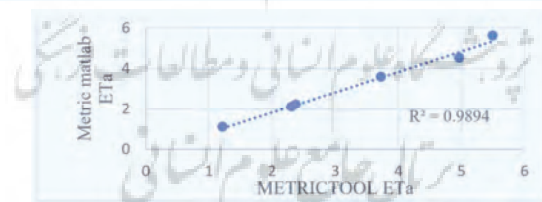


شکل ۱۴. (الف) شار تابش خالص؛ (ب) شار گرمای خاک؛ (ج) شار گرمای محسوس؛ (د) شار گرمای نهان

با توجه به شکل ۱۵ میانگین ET_a در محدوده مورد نظر و در مدل SEBAL اختلاف بیشتری نسبت به سه مدل METRIC دارد. مدل METRIC خودکار و ابزار METRICTOOL دارای نتایج عددی نزدیک به هم هستند. داده‌های EEFLUX نیز در این محدوده دچار تخمین کمتر از اندازه است.

ET_r هر مدل را می‌توان با معادله FAO- ET_r به عنوان Penman-Monteith مرجع مقایسه کرد. برای این منظور از داده‌های هواشناسی ایستگاه محمدشهر کرج در تاریخ‌های مذکور و نرم‌افزار REF-ET استفاده شد. هریک از روش‌ها در ۶ تاریخ مورد نظر به دست آمد. نتایج حاصل در جدول ۵ درج شده است. با توجه به نتایج ابزار METRICTOOL و مدل METRIC خودکار به ترتیب با RMSE ۰.۳۳ و ۰.۳۹ دقت بالاتری نسبت به مدل SEBAL دارند.

شکل ۱۴ شار تابش خالص (R_n ، گرمای خاک (G)، گرمای محسوس (h) و گرمای نهان (Ie) را در محدوده مورد نظر نشان می‌دهد. با توجه به شکل ۱۴.الف، بیشترین تابش در مناطق پوشش گیاهی و حداقل مقدار در مناطق بدون پوشش گیاه رخ می‌دهد. علاوه‌براین، مقدار G در مناطق با پوشش گیاهی در محدوده ۰.۰۵ تا ۰.۱۵ است که میزان انتقال حرارت هدایتی^۱ در خاک است. مدل METRICTOOL مجدداً در ۶ تصویر Landsat در محدوده مدل SEBAL و METRIC خودکار پیاده‌سازی شد تا امکان مقایسه این دو روش فراهم شود. علت پیاده‌سازی مجدد آن است که انتخاب پیکسل سرد و گرم در این دو روش از بین داده‌های حرارتی یکسان صورت گیرد. همچنین داده‌های EEFLUX در این محدوده برش خورد.

شکل ۱۵. نمودار میانگین ET_a روش‌های ذکر شدهشکل ۱۶. ارتباط ET_a ابزار METRICTOOL و مدل METRIC خودکارجدول ۵. ارزیابی مقدار ET_r روش‌های مذکور

	۱۴۰۱	۱۴۰۱	۱۴۰۰	۱۴۰۰	۱۴۰۰	۱۴۰۰	۱۴۰۰	۱۴۰۰
RMSE	۵.۵۱	۴.۴۳	۳.۸۳	۲.۸۳	۲.۲۲	.۰۹	FAO-Penman-Monteith	
	۰.۳۳	۰.۳	۰.۷۷	۰.۶۳	۰.۱۸	۰.۰۹	METRICTOOL	
	۰.۳۹	۰.۴۱	۰.۳۴	۰.۳۹	۰.۰۳	۰.۹۹	Automated METRIC	
	۲.۷۶	۲.۷۸	۰.۵۳	۰.۹	۴.۲	۰.۵۵	Automated SEBAL	

1. conduction heat transfer

برای کاربران جدید یا بی‌تجربه کاهش دهد و بنابراین این مدل‌ها را در دسترس عموم کاربران قرار دهد.

۵- جمع‌بندی

با توجه به افزایش جمعیت، افزایش نیاز به غذا و مصرف در صد بالایی از منابع آب شیرین در دنیا به‌واسطه عملیات کشاورزی مدیریت آبیاری در زمین‌های کشاورزی امری ضروری است. پارامتر ET نقشی اساسی در نظارت، مدیریت و افزایش بازده مصرف آب دارد. در این راستا، مدل‌های ماهواره‌ای برآورد ET بسیاری تعریف شده است. استفاده از این الگوریتم‌ها نه تنها به تأمین امنیت غذایی کمک می‌کند، بلکه در حفظ منابع آب نیز مؤثر است. همچنین آب اضافی باعث افزایش محتوای خاک – آب و در نتیجه فشار منافذ می‌شود. آبیاری بیش از حد علاوه‌بر کاهش بازده محصول و تهدید منابع آب شیرین می‌تواند به ناپایداری خاک، ایجاد رانش زمین یا سایر پیامدهای ناخواسته منجر شود. با توجه به کاربرد وسیع مدل‌های برآورد ET و اهمیت این پارامتر، لازم است تمرکز بر روش‌های دقیق و سریع تعیین آن افزایش یابد. در این مطالعه به محصولات سامانه METRICTOOL، ابزار EEFLUX و روش انتخاب خودکار پیکسل سرد و گرم مدل‌های METRIC و SEBAL بررسی شد. طبق نتایج رویکرد خودکار کارایی مدل را از نظر زمان و بازده افزایش می‌دهد و می‌تواند خطای انسانی در تخمین تبخیر و تعرق را برای کاربران جدید یا بی‌تجربه کاهش داده، این مدل‌ها را در دسترس عموم کاربران قرار دهد. همچنین مدل‌های EEFLUX می‌توانند در مطالعات با وسعت بالا کارایی لازم برای اقدامات مدیریتی را داشته باشند.

مطالعات آتی می‌توانند عملکرد مدل‌های خودکارسازی فعلی را در سراسر جهان و تحت شرایط اقلیمی مختلف و محصولات مختلف و نیز ادغام سایر الگوریتم‌ها، مانند الگوریتم‌های ژنتیک در این مدل‌ها را بررسی کنند. در حال حاضر تلاشی برای پیاده‌سازی این رویکرد خودکار در پلتفرم Google Earth Engine API در حال انجام است.

۴- بحث و بررسی

در این مطالعه سه روش سنجش از دور برآورد ET_a پیاده‌سازی و ارزیابی و مقایسه شد. با توجه به نتایج محصول تبخیر و تعرق سامانه EEFLUX به‌ رغم اختلاف عددی با دیگر روش‌ها همبستگی معناداری با آن‌ها داشت. مثلاً R^2 بین ET_a این سامانه و ابزار METRICTOOL ۰.۹۱ برآورد شد. نتیجه آن است که گرچه داده‌های این سامانه به‌دلیل استفاده از داده‌های هواشناسی جهانی CFSV2 در ایران برای مطالعات مناطق با وسعت بالا یا برخوردار نیستند، اما در مطالعات مناطق با وسعت بالا یا جهانی نتایج قابل قبولی را به دست می‌دهند. ابزار METRICTOOL و مدل METRIC خودکار بیشترین همبستگی ($R^2=0.99$) و نزدیکی عددی را با یکدیگر داشتند و به ترتیب با 0.۳۹ و 0.۳۳ RMSE از مدل SEBAL خودکار دارند. ارزیابی این مدل‌ها با در نظر گرفتن ETr روش به عنوان RMSE طی تاریخ‌های مورد مطالعه انجام شد. از مزیت ابزار METRICTOOL می‌توان به دقت و سرعت پردازش بالای و کاربرپسند بودن آن اشاره کرد. مزیت مدل METRIC خودکار نسبت به ابزار METRICTOOL انتخاب اتوماتیک پیکسل سرد و گرم است که بدین ترتیب می‌توان با استفاده از یک روش بهینه‌سازی ساده در قالب الگوریتم جستجوی جامع (ESA) از بروز خطای انسانی در انتخاب این پیکسل‌ها جلوگیری کرد. همچنین نتایج ارزیابی نقشه تبخیر و تعرق تولیدی نشان می‌دهد که در صورت نبود داده‌های تابش ایستگاه هواشناسی، می‌توان از داده‌های Merri-2 به جای این داده‌ها استفاده کرد.

با توجه به نتایج عددی رویکرد خودکار می‌تواند دقت مشابهی در مقایسه با استفاده از روش‌های انتخاب پیکسل دستی داشته باشد. فرایند خودکارسازی کارایی مدل را از نظر زمان و بازده و همچنین افزایش پتانسیل برای کاربردهای عملیاتی و تولید مدل‌های جدید ET چندمدلی را بهبود می‌بخشد. علاوه‌بر این، رویکرد خودکار می‌تواند خطای انسانی را در تخمین‌های ET

- Snyder, the ASCE standardized reference evapotranspiration equation. *Environmental and Water Resources Institute of the American Society of Civil Engineers*, 57.
- Bastiaanssen, W. G. (2000, March). SEBAL-based sensible and latent heat fluxes in the irrigated Gediz Basin, Turkey. *Journal of Hydrology*, 229, 87–100. doi:10.1016/s0022-1694(99)00202-4
- Bastiaanssen, W. G., Pelgrum, H., Wang, J., Ma, Y., Moreno, J. F., Roerink, G. J., & van der Wal, T. (1998, December). A remote sensing surface energy balance algorithm for land (SEBAL). *Journal of Hydrology*, 212–213, 213–229. doi:10.1016/s0022-1694(98)00254-6
- Bhattarai, N., Quackenbush, L. J., Im, J., & Shaw, S. B. (2017, July). A new optimized algorithm for automating endmember pixel selection in the SEBAL and METRIC models. *Remote Sensing of Environment*, 196, 178–192. doi:10.1016/j.rse.2017.05.009
- Brutsaert, W., & Sugita, M. (1992, November). Application of self-preservation in the diurnal evolution of the surface energy budget to determine daily evaporation. *Journal of Geophysical Research: Atmospheres*, 97, 18377–18382. doi:10.1029/92jd00255
- Calzadilla, A., Rehdanz, K., Betts, R., Falloon, P., Wiltshire, A., & Tol, R. S. (2013, July). Climate change impacts on global agriculture. *Climatic Change*, 120, 357–374. doi:10.1007/s10584-013-0822-4
- Chakraborty, S., & Newton, A. C. (2011, January). Climate change, plant diseases and food security: an overview. *Plant Pathology*, 60, 2–14. doi:10.1111/j.1365-3059.2010.02411.x
- Crago, R. D. (1996, May). Conservation and variability of the evaporative fraction during the daytime. *Journal of Hydrology*, 180, 173–194. doi:10.1016/0022-1694(95)02903-6
- Dang, C., Liu, Y., Yue, H., Qian, J., & Zhu, R. (2020, October). Autumn Crop Yield Prediction using Data-Driven Approaches: Support Vector Machines, Random Forest, and Deep Neural Network Methods. *Canadian Journal of Remote Sensing*, 47, 162–181. doi:10.1080/07038992.2020.1833186
- سپاسگزاری
- از گروه زراعت و اصلاح نباتات پردیس کشاورزی و منابع طبیعی دانشگاه تهران به خاطر همکاری‌های صمیمانه، بهویژه کارشناس محترم مزرعه جناب آقای مهندس رفیعی و آقای کلارنس رایسون، دانشیار پژوهشی دانشگاه آیدaho کمال تشکر و قدردانی را داریم.
- منابع
- Allen, R. G., Morton, C., Kamble, B., Kilic, A., Huntington, J., Thau, D., . . . Robison, C. (2015, November). EEFlux: A Landsat-based Evapotranspiration mapping tool on the Google Earth Engine. *2015 ASABE / IA Irrigation Symposium: Emerging Technologies for Sustainable Irrigation - A Tribute to the Career of Terry Howell, Sr. Conference Proceedings*. American Society of Agricultural and Biological Engineers. doi:10.13031/irrig.20152143511
- Allen, R. G., Pereira, L. S., Raes, D., Smith, M., & others. (1998). Crop evapotranspiration—Guidelines for computing crop water requirements—FAO Irrigation and drainage paper 56. *Fao, Rome*, 300, D05109.
- Allen, R. G., Morton, C., Kamble, B., Kilic, A., Huntington, J., Thau, D., . . . Robison, C. (2015, November).
- Allen, R. G., Tasumi, M., & Trezza, R. (2007, August). Satellite-Based Energy Balance for Mapping Evapotranspiration with Internalized Calibration (METRIC)—Model. *Journal of Irrigation and Drainage Engineering*, 133, 380–394. doi:10.1061/(asce)0733-9437(2007)133:4(380)
- Allen, R. G., Tasumi, M., Morse, A., Trezza, R., Wright, J. L., Bastiaanssen, W., . . . Robison, C. W. (2007, August). Satellite-Based Energy Balance for Mapping Evapotranspiration with Internalized Calibration (METRIC)—Applications. *Journal of Irrigation and Drainage Engineering*, 133, 395–406. doi:10.1061/(asce)0733-9437(2007)133:4(395)
- Allen, R. G., Walter, I. A., Elliott, R., Howell, R., Itenfisu, D., & Jensen, M. (2005). RL

- Derakhshandeh, M., & Tombul, M. (2021, November). Calibration of METRIC Modeling for Evapotranspiration Estimation Using Landsat 8 Imagery Data. *Water Resources Management*, 36, 315–339. doi:10.1007/s11269-021-03029-5
- Eswar, R., Sekhar, M., & Bhattacharya, B. K. (2017, December). Comparison of three remote sensing based models for the estimation of latent heat flux over India. *Hydrological Sciences Journal*, 62, 2705–2719. doi:10.1080/02626667.2017.1404067
- Farah, H. O. (2001). Estimation of regional evaporation using a detailed agro-hydrological model. *Journal of Hydrology*, 229, 50–58.
- Farah, H. O., Bastiaanssen, W. G., & Feddes, R. A. (2004, May). Evaluation of the temporal variability of the evaporative fraction in a tropical watershed. *International Journal of Applied Earth Observation and Geoinformation*, 5, 129–140. doi:10.1016/j.jag.2004.01.003
- Fitzgerald, R. W., & Lees, B. G. (1994, March). Assessing the classification accuracy of multisource remote sensing data. *Remote Sensing of Environment*, 47, 362–368. doi:10.1016/0034-4257(94)90103-1
- Ghaderi, A., Dasineh, M., Shokri, M., & Abraham, J. (2020, June). Estimation of Actual Evapotranspiration Using the Remote Sensing Method and SEBAL Algorithm: A Case Study in Ein Khosh Plain, Iran. *Hydrology*, 7, 36. doi:10.3390/hydrology7020036
- Hodgson, M. E., Li, X., & Cheng, Y. (2004, December). A Parameterization Model for Transportation Feature Extraction. *Photogrammetric Engineering & Remote Sensing*, 70, 1399–1404. doi:10.14358/pers.70.12.1399
- Im, J., & Hodgson, M. E. (2009, July). Characteristics of Search Spaces for Identifying Optimum Thresholds in Change Detection Studies. *GIScience & Remote Sensing*, 46, 249–272. doi:10.2747/1548-1603.46.3.249
- Jawad, L. A., & Mohamed, H. A. (2020). Integrative Use of Penman-Monteith Equation with Remote Sensing and Geographical Information System Techniques to Estimate Evapotranspiration Variance in Iraq. *The Iraqi Journal of Agricultural Science*, 51, 530–541.
- Kamali, M. I., & Nazari, R. (2018, October). Determination of maize water requirement using remote sensing data and SEBAL algorithm. *Agricultural Water Management*, 209, 197–205. doi:10.1016/j.agwat.2018.07.035
- Khatibi, A., & Krauter, S. (2021, February). Validation and Performance of Satellite Meteorological Dataset MERRA-2 for Solar and Wind Applications. *Energies*, 14, 882. doi:10.3390/en14040882
- Knipper, K. R., Kustas, W. P., Anderson, M. C., Alfieri, J. G., Prueger, J. H., Hain, C. R., . . . Sanchez, L. (2018, October). Evapotranspiration estimates derived using thermal-based satellite remote sensing and data fusion for irrigation management in California vineyards. *Irrigation Science*, 37, 431–449. doi:10.1007/s00271-018-0591-y
- Kumar, L., & Mutanga, O. (2018, September). Google Earth Engine Applications Since Inception: Usage, Trends, and Potential. *Remote Sensing*, 10, 1509. doi:10.3390/rs10101509
- Laipelt, L., Henrique Bloedow Kayser, R., Santos Fleischmann, A., Ruhoff, A., Bastiaanssen, W., Erickson, T. A., & Melton, F. (2021, August). Long-term monitoring of evapotranspiration using the SEBAL algorithm and Google Earth Engine cloud computing. *ISPRS Journal of Photogrammetry and Remote Sensing*, 178, 81–96. doi:10.1016/j.isprsjprs.2021.05.018
- Mondal, I., Thakur, S., De, A., & De, T. K. (2022, March). Application of the METRIC model for mapping evapotranspiration over the Sundarban Biosphere Reserve, India. *Ecological Indicators*, 136, 108553. doi:10.1016/j.ecolind.2022.108553
- Mountrakis, G., Im, J., & Ogole, C. (2011, May). Support vector machines in remote sensing:

- A review. *ISPRS Journal of Photogrammetry and Remote Sensing*, 66, 247–259. doi:10.1016/j.isprsjprs.2010.11.001
- Mutanga, O., & Kumar, L. (2019, March). Google Earth Engine Applications. *Remote Sensing*, 11, 591. doi:10.3390/rs11050591
- Nisa, Z., Khan, M. S., Govind, A., Marchetti, M., Lasserre, B., Magliulo, E., & Manco, A. (2021, February). Evaluation of SEBS, METRIC-EEFlux, and QWaterModel Actual Evapotranspiration for a Mediterranean Cropping System in Southern Italy. *Agronomy*, 11, 345. doi:10.3390/agronomy11020345
- Norman, J. M., Kustas, W. P., & Humes, K. S. (1995, December). Source approach for estimating soil and vegetation energy fluxes in observations of directional radiometric surface temperature. *Agricultural and Forest Meteorology*, 77, 263–293. doi:10.1016/0168-1923(95)02265-y
- Ramírez-Cuesta, J. M., Allen, R. G., Intrigliolo, D. S., Kilic, A., Robison, C. W., Trezza, R., . . . Lorite, I. J. (2020, September). METRIC-GIS: An advanced energy balance model for computing crop evapotranspiration in a GIS environment. *Environmental Modelling & Software*, 131, 104770. doi:10.1016/j.envsoft.2020.104770
- Ramírez-Cuesta, J. M., Allen, R. G., Zarco-Tejada, P. J., Kilic, A., Santos, C., & Lorite, I. J. (2019, February). Impact of the spatial resolution on the energy balance components on an open-canopy olive orchard. *International Journal of Applied Earth Observation and Geoinformation*, 74, 88–102. doi:10.1016/j.jag.2018.09.001
- azagui, A., Abdeladim, K., Bouchouicha, K., Bachari, N., Semaoui, S., & Hadj Arab, A. (2021, June). A new approach to forecast solar irradiances using WRF and libRadtran models, validated with MERRA-2 reanalysis data and pyranometer measures. *Solar Energy*, 221, 148–161. doi:10.1016/j.solener.2021.04.024
- Roerink, G. J., Su, Z., & Menenti, M. (2000, January). S-SEBI: A simple remote sensing algorithm to estimate the surface energy balance. *Physics and Chemistry of the Earth, Part B: Hydrology, Oceans and Atmosphere*, 25, 147–157. doi:10.1016/s1464-1909(99)00128-8
- Saha, S. K., Ahmmed, R., & Jahan, N. (2022). Actual Evapotranspiration Estimation Using Remote Sensing: Comparison of Sebal and Metric Models. In *Water Management: A View from Multidisciplinary Perspectives* (pp. 365–383). Springer International Publishing. doi:10.1007/978-3-030-95722-3_18
- Santos, C., Lorite, I. J., Tasumi, M., Allen, R. G., & Fereres, E. (2007, October). Integrating satellite-based evapotranspiration with simulation models for irrigation management at the scheme level. *Irrigation Science*, 26, 277–288. doi:10.1007/s00271-007-0093-9
- Senay, G., Budde, M., Verdin, J., & Melesse, A. (2007, June). A Coupled Remote Sensing and Simplified Surface Energy Balance Approach to Estimate Actual Evapotranspiration from Irrigated Fields. *Sensors*, 7, 979–1000. doi:10.3390/s7060979
- Shamloo, N., Taghi Sattari, M., Apaydin, H., Valizadeh Kamran, K., & Prasad, R. (2021, August). Evapotranspiration estimation using SEBAL algorithm integrated with remote sensing and experimental methods. *International Journal of Digital Earth*, 14, 1638–1658. doi:10.1080/17538947.2021.1962996
- Sheykhou, M., Mahdianpari, M., Ghanbari, H., Mohammadimanesh, F., Ghamisi, P., & Homayouni, S. (2020). Support Vector Machine Versus Random Forest for Remote Sensing Image Classification: A Meta-Analysis and Systematic Review. *IEEE Journal of Selected Topics in Applied Earth Observations and Remote Sensing*, 13, 6308–6325. doi:10.1109/jstars.2020.3026724
- Sobrino, J. A., Souza da Rocha, N., Skoković, D., Suélen Käfer, P., López-Urrea, R., Jiménez-Muñoz, J. C., & Alves Rolim, S. B. (2021, September). Evapotranspiration Estimation with the S-SEBI Method from Landsat 8 Data

- against Lysimeter Measurements at the Barrax Site, Spain. *Remote Sensing*, 13, 3686. doi:10.3390/rs13183686
- Su, Z. (2002, February). The Surface Energy Balance System (SEBS) for estimation of turbulent heat fluxes. *Hydrology and Earth System Sciences*, 6, 85–100. doi:10.5194/hess-6-85-2002
- Sun, Z., Wei, B., Su, W., Shen, W., Wang, C., You, D., & Liu, Z. (2011, August). Evapotranspiration estimation based on the SEBAL model in the Nansi Lake Wetland of China. *Mathematical and Computer Modelling*, 54, 1086–1092. doi:10.1016/j.mcm.2010.11.039
- Tasumi, M. (2003). *Progress in operational estimation of regional evapotranspiration using satellite imagery*. University of Idaho.
- Tasumi, M., Trezza, R., Allen, R. G., & Wright, J. L. (2005, November). Operational aspects of satellite-based energy balance models for irrigated crops in the semi-arid U.S. *Irrigation and Drainage Systems*, 19, 355–376. doi:10.1007/s10795-005-8138-9
- Thorp, K. R., Marek, G. W., DeJonge, K. C., Evett, S. R., & Lascano, R. J. (2019, September). Novel methodology to evaluate and compare evapotranspiration algorithms in an agroecosystem model. *Environmental Modelling & Software*, 119, 214–227. doi:10.1016/j.envsoft.2019.06.007
- Tian, D., Asadi, P., Medina, H., Ortiz, B., & Kesikka, I. (2020, March). A Climate Smart Framework for Forecasting Field-level Potential Evapotranspiration and Irrigation Requirement with Numerical Weather Predictions and Satellite Remote Sensing. doi:10.5194/egusphere-egu2020-11756
- Wagle, P., Bhattacharai, N., Gowda, P. H., & Kakani, V. G. (2017, June). Performance of five surface energy balance models for estimating daily evapotranspiration in high biomass sorghum. *ISPRS Journal of Photogrammetry and Remote Sensing*, 128, 192–203. doi:10.1016/j.isprsjprs.2017.03.022
- Wang, J., Li, H., & Lu, H. (2021, December). An estimation of the evapotranspiration of typical steppe areas using Landsat images and the METRIC model. *Journal of Water and Climate Change*, 13, 926–942. doi:10.2166/wcc.2021.432
- Wickham, J. D., Stehman, S. V., Gass, L., Dewitz, J., Fry, J. A., & Wade, T. G. (2013, March). Accuracy assessment of NLCD 2006 land cover and impervious surface. *Remote Sensing of Environment*, 130, 294–304. doi:10.1016/j.rse.2012.12.001
- Zagajewski, B., Kluczek, M., Raczkowski, E., Njegovec, A., Dabija, A., & Kycko, M. (2021, July). Comparison of Random Forest, Support Vector Machines, and Neural Networks for Post-Disaster Forest Species Mapping of the Krkonoše/Karkonosze Transboundary Biosphere Reserve. *Remote Sensing*, 13, 2581. doi:10.3390/rs13132581
- Zhang, H., Anderson, R. G., & Wang, D. (2015, August). Satellite-based crop coefficient and regional water use estimates for Hawaiian sugarcane. *Field Crops Research*, 180, 143–154. doi:10.1016/j.fcr.2015.05.023